

# Обробка зображень і мультимедіа

Олег Гутік



Лекція 8: Стиснення зображень, II

Методи стиснення зображень, розроблені для конкретних типів графічних образів, можуть успішно застосовуватися для компресії інших типів. Наприклад, будь-який метод стиснення дворівневих зображень підходить для напівтонових образів, якщо попередньо розшарувати напівтоновий образ на декілька дворівневих і кожен шар стискати незалежно. Уявімо собі зображення з 16 градаціями сірого кольору. Кожен піксель визначається 4 бітами, а тому зображення поділяється на 4 дворівневі. Однак за такого підходу може порушитися основний принцип стиснення зображень. Уявімо два прилеглих 4-бітних пікселя зі значеннями  $7 = 0111_2$  і  $8 = 1000_2$ . Ці пікселі мають близькі значення, але при їхньому поділі на 4 шари, вони будуть різнитися у всіх 4 шарах! Відбувається це через те, що у двійковому поданні числа 7 і 8 різняться у всіх чотирьох розрядах. Для того, щоб успішно застосувати тут метод стиснення дворівневих зображень необхідно, щоб у двійковому поданні два послідовні числа мали двійкові коди, що відрізняються лише на один біт. Таке уявлення чисел існує і називається *рефлексними кодами Грея* (RGC, *reflected Gray code*). Їх легко побудувати, дотримуючись запропонованого рекурсивного правила.

Методи стиснення зображень, розроблені для конкретних типів графічних образів, можуть успішно застосовуватися для компресії інших типів.

Наприклад, будь-який метод стиснення дворівневих зображень підходить для напівтонових образів, якщо попередньо розшарувати напівтоновий образ на декілька дворівневих і кожен шар стискати незалежно. Уявімо собі зображення з 16 градаціями сірого кольору. Кожен піксель визначається 4 бітами, а тому зображення поділяється на 4 дворівневі.

Однак за такого підходу може порушитися основний принцип стиснення зображень. Уявімо два прилеглих 4-бітних пікселя зі значеннями  $7 = 0111_2$  і  $8 = 1000_2$ . Ці пікселі мають близькі значення, але при їхньому поділі на 4 шари, вони будуть різнитися у всіх 4 шарах! Відбувається це через те, що у двійковому поданні числа 7 і 8 різняться у всіх чотирьох розрядах. Для того, щоб успішно застосувати тут метод стиснення дворівневих зображень необхідно, щоб у двійковому поданні два послідовні числа мали двійкові коди, що відрізняються лише на один біт. Таке уявлення чисел існує і називається *рефлексними кодами Грея* (RGC, *reflected Gray code*). Їх легко побудувати, дотримуючись запропонованого рекурсивного правила.

Методи стиснення зображень, розроблені для конкретних типів графічних образів, можуть успішно застосовуватися для компресії інших типів.

Наприклад, будь-який метод стиснення дворівневих зображень підходить для напівтонових образів, якщо попередньо розшарувати напівтоновий образ на декілька дворівневих і кожен шар стискати незалежно. Уявімо собі зображення з 16 градаціями сірого кольору. Кожен піксель визначається 4 бітами, а тому зображення поділяється на 4 дворівневі. Однак за такого підходу може порушитися основний принцип стиснення зображень. Уявімо два прилеглих 4-бітних пікселя зі значеннями  $7 = 0111_2$  і  $8 = 1000_2$ . Ці пікселі мають близькі значення, але при їхньому поділі на 4 шари, вони будуть різнитися у всіх 4 шарах! Відбувається це через те, що у двійковому поданні числа 7 і 8 різняться у всіх чотирьох розрядах. Для того, щоб успішно застосувати тут метод стиснення дворівневих зображень необхідно, щоб у двійковому поданні два послідовні числа мали двійкові коди, що відрізняються лише на один біт. Таке уявлення чисел існує і називається *рефлексними кодами Грея* (RGC, *reflected Gray code*). Їх легко побудувати, дотримуючись запропонованого рекурсивного правила.

Методи стиснення зображень, розроблені для конкретних типів графічних образів, можуть успішно застосовуватися для компресії інших типів. Наприклад, будь-який метод стиснення дворівневих зображень підходить для напівтонових образів, якщо попередньо розшарувати напівтоновий образ на декілька дворівневих і кожен шар стискати незалежно. Уявімо собі зображення з 16 градаціями сірого кольору. Кожен піксель визначається 4 бітами, а тому зображення поділяється на 4 дворівневі. Однак за такого підходу може порушитися основний принцип стиснення зображень. Уявімо два прилеглих 4-бітних пікселя зі значеннями  $7 = 0111_2$  і  $8 = 1000_2$ . Ці пікселі мають близькі значення, але при їхньому поділі на 4 шари, вони будуть різнитися у всіх 4 шарах! Відбувається це через те, що у двійковому поданні числа 7 і 8 різняться у всіх чотирьох розрядах. Для того, щоб успішно застосувати тут метод стиснення дворівневих зображень необхідно, щоб у двійковому поданні два послідовні числа мали двійкові коди, що відрізняються лише на один біт. Таке уявлення чисел існує і називається *рефлексними кодами Грея* (RGC, *reflected Gray code*). Їх легко побудувати, дотримуючись запропонованого рекурсивного правила.

Методи стиснення зображень, розроблені для конкретних типів графічних образів, можуть успішно застосовуватися для компресії інших типів. Наприклад, будь-який метод стиснення дворівневих зображень підходить для напівтонових образів, якщо попередньо розшарувати напівтоновий образ на декілька дворівневих і кожен шар стискати незалежно. Уявімо собі зображення з 16 градаціями сірого кольору. Кожен піксель визначається 4 бітами, а тому зображення поділяється на 4 дворівневі. Однак за такого підходу може порушитися основний принцип стиснення зображень. Уявімо два прилеглих 4-бітних пікселя зі значеннями  $7 = 0111_2$  і  $8 = 1000_2$ . Ці пікселі мають близькі значення, але при їхньому поділі на 4 шари, вони будуть різнитися у всіх 4 шарах! Відбувається це через те, що у двійковому поданні числа 7 і 8 різняться у всіх чотирьох розрядах. Для того, щоб успішно застосувати тут метод стиснення дворівневих зображень необхідно, щоб у двійковому поданні два послідовні числа мали двійкові коди, що відрізняються лише на один біт. Таке уявлення чисел існує і називається *рефлексними кодами Грея* (RGC, *reflected Gray code*). Їх легко побудувати, дотримуючись запропонованого рекурсивного правила.

Методи стиснення зображень, розроблені для конкретних типів графічних образів, можуть успішно застосовуватися для компресії інших типів.

Наприклад, будь-який метод стиснення дворівневих зображень підходить для напівтонових образів, якщо попередньо розшарувати напівтоновий образ на декілька дворівневих і кожен шар стискати незалежно. Уявімо собі зображення з 16 градаціями сірого кольору. Кожен піксель

визначається 4 бітами, а тому зображення поділяється на 4 дворівневі.

Однак за такого підходу може порушитися основний принцип стиснення зображень. Уявімо два прилеглих 4-бітних пікселя зі значеннями  $7 = 0111_2$  і  $8 = 1000_2$ . Ці пікселі мають близькі значення, але при їхньому поділі на 4 шари, вони будуть різнитися у всіх 4 шарах! Відбувається це через те, що у двійковому поданні числа 7 і 8 різняться у всіх чотирьох розрядах. Для того, щоб успішно застосувати тут метод стиснення дворівневих зображень необхідно, щоб у двійковому поданні два послідовні числа мали двійкові коди, що відрізняються лише на один біт. Таке уявлення чисел існує і називається *рефлексними кодами Грея* (RGC, *reflected Gray code*). Їх легко побудувати, дотримуючись запропонованого рекурсивного правила.

Методи стиснення зображень, розроблені для конкретних типів графічних образів, можуть успішно застосовуватися для компресії інших типів.

Наприклад, будь-який метод стиснення дворівневих зображень підходить для напівтонових образів, якщо попередньо розшарувати напівтоновий образ на декілька дворівневих і кожен шар стискати незалежно. Уявімо собі зображення з 16 градаціями сірого кольору. Кожен піксель визначається 4 бітами, а тому зображення поділяється на 4 дворівневі.

Однак за такого підходу може порушитися основний принцип стиснення зображень. Уявімо два прилеглих 4-бітних пікселя зі значеннями  $7 = 0111_2$  і  $8 = 1000_2$ . Ці пікселі мають близькі значення, але при їхньому поділі на 4 шари, вони будуть різнитися у всіх 4 шарах! Відбувається це через те, що у двійковому поданні числа 7 і 8 різняться у всіх чотирьох розрядах. Для того, щоб успішно застосувати тут метод стиснення дворівневих зображень необхідно, щоб у двійковому поданні два послідовні числа мали двійкові коди, що відрізняються лише на один біт. Таке уявлення чисел існує і називається *рефлексними кодами Грея* (RGC, *reflected Gray code*). Їх легко побудувати, дотримуючись запропонованого рекурсивного правила.



Методи стиснення зображень, розроблені для конкретних типів графічних образів, можуть успішно застосовуватися для компресії інших типів.

Наприклад, будь-який метод стиснення дворівневих зображень підходить для напівтонових образів, якщо попередньо розшарувати напівтоновий образ на декілька дворівневих і кожен шар стискати незалежно. Уявімо собі зображення з 16 градаціями сірого кольору. Кожен піксель визначається 4 бітами, а тому зображення поділяється на 4 дворівневі.

Однак за такого підходу може порушитися основний принцип стиснення зображень. Уявімо два прилеглих 4-бітних пікселя зі значеннями  $7 = 0111_2$  і  $8 = 1000_2$ . Ці пікселі мають близькі значення, але при їхньому поділі на 4 шари, вони будуть різнитися у всіх 4 шарах! Відбувається це через те, що у двійковому поданні числа 7 і 8 різняться у всіх чотирьох розрядах. Для того, щоб успішно застосувати тут метод стиснення дворівневих зображень необхідно, щоб у двійковому поданні два послідовні числа мали двійкові коди, що відрізняються лише на один біт. Таке уявлення чисел існує і називається *рефлексними кодами Грея* (RGC, *reflected Gray code*). Їх легко побудувати, дотримуючись запропонованого рекурсивного правила.

Методи стиснення зображень, розроблені для конкретних типів графічних образів, можуть успішно застосовуватися для компресії інших типів. Наприклад, будь-який метод стиснення дворівневих зображень підходить для напівтонових образів, якщо попередньо розшарувати напівтоновий образ на декілька дворівневих і кожен шар стискати незалежно. Уявімо собі зображення з 16 градаціями сірого кольору. Кожен піксель визначається 4 бітами, а тому зображення поділяється на 4 дворівневі. Однак за такого підходу може порушитися основний принцип стиснення зображень. Уявімо два прилеглих 4-бітних пікселя зі значеннями  $7 = 0111_2$  і  $8 = 1000_2$ . Ці пікселі мають близькі значення, але при їхньому поділі на 4 шари, вони будуть різнитися у всіх 4 шарах! Відбувається це через те, що у двійковому поданні числа 7 і 8 різняться у всіх чотирьох розрядах. Для того, щоб успішно застосувати тут метод стиснення дворівневих зображень необхідно, щоб у двійковому поданні два послідовні числа мали двійкові коди, що відрізняються лише на один біт. Таке уявлення чисел існує і називається *рефлексними кодами Грея* (RGC, *reflected Gray code*). Їх легко побудувати, дотримуючись запропонованого рекурсивного правила.

Методи стиснення зображень, розроблені для конкретних типів графічних образів, можуть успішно застосовуватися для компресії інших типів. Наприклад, будь-який метод стиснення дворівневих зображень підходить для напівтонових образів, якщо попередньо розшарувати напівтоновий образ на декілька дворівневих і кожен шар стискати незалежно. Уявімо собі зображення з 16 градаціями сірого кольору. Кожен піксель визначається 4 бітами, а тому зображення поділяється на 4 дворівневі. Однак за такого підходу може порушитися основний принцип стиснення зображень. Уявімо два прилеглих 4-бітних пікселя зі значеннями  $7 = 0111_2$  і  $8 = 1000_2$ . Ці пікселі мають близькі значення, але при їхньому поділі на 4 шари, вони будуть різнитися у всіх 4 шарах! Відбувається це через те, що у двійковому поданні числа 7 і 8 різняться у всіх чотирьох розрядах. Для того, щоб успішно застосувати тут метод стиснення дворівневих зображень необхідно, щоб у двійковому поданні два послідовні числа мали двійкові коди, що відрізняються лише на один біт. Таке уявлення чисел існує і називається *рефлексними кодами Грея* (RGC, *reflected Gray code*). Їх легко побудувати, дотримуючись запропонованого рекурсивного правила.

Методи стиснення зображень, розроблені для конкретних типів графічних образів, можуть успішно застосовуватися для компресії інших типів. Наприклад, будь-який метод стиснення дворівневих зображень підходить для напівтонових образів, якщо попередньо розшарувати напівтоновий образ на декілька дворівневих і кожен шар стискати незалежно. Уявімо собі зображення з 16 градаціями сірого кольору. Кожен піксель визначається 4 бітами, а тому зображення поділяється на 4 дворівневі. Однак за такого підходу може порушитися основний принцип стиснення зображень. Уявімо два прилеглих 4-бітних пікселя зі значеннями  $7 = 0111_2$  і  $8 = 1000_2$ . Ці пікселі мають близькі значення, але при їхньому поділі на 4 шари, вони будуть різнитися у всіх 4 шарах! Відбувається це через те, що у двійковому поданні числа 7 і 8 різняться у всіх чотирьох розрядах. Для того, щоб успішно застосувати тут метод стиснення дворівневих зображень необхідно, щоб у двійковому поданні два послідовні числа мали двійкові коди, що відрізняються лише на один біт. Таке уявлення чисел існує і називається *рефлексними кодами Грея* (RGC, *reflected Gray code*). Їх легко побудувати, дотримуючись запропонованого рекурсивного правила.

Методи стиснення зображень, розроблені для конкретних типів графічних образів, можуть успішно застосовуватися для компресії інших типів. Наприклад, будь-який метод стиснення дворівневих зображень підходить для напівтонових образів, якщо попередньо розшарувати напівтоновий образ на декілька дворівневих і кожен шар стискати незалежно. Уявімо собі зображення з 16 градаціями сірого кольору. Кожен піксель визначається 4 бітами, а тому зображення поділяється на 4 дворівневі. Однак за такого підходу може порушитися основний принцип стиснення зображень. Уявімо два прилеглих 4-бітних пікселя зі значеннями  $7 = 0111_2$  і  $8 = 1000_2$ . Ці пікселі мають близькі значення, але при їхньому поділі на 4 шари, вони будуть різнитися у всіх 4 шарах! Відбувається це через те, що у двійковому поданні числа 7 і 8 різняться у всіх чотирьох розрядах. Для того, щоб успішно застосувати тут метод стиснення дворівневих зображень необхідно, щоб у двійковому поданні два послідовні числа мали двійкові коди, що відрізняються лише на один біт. Таке уявлення чисел існує і називається *рефлексними кодами Грея* (RGC, *reflected Gray code*). Їх легко побудувати, дотримуючись запропонованого рекурсивного правила.

Методи стиснення зображень, розроблені для конкретних типів графічних образів, можуть успішно застосовуватися для компресії інших типів. Наприклад, будь-який метод стиснення дворівневих зображень підходить для напівтонових образів, якщо попередньо розшарувати напівтоновий образ на декілька дворівневих і кожен шар стискати незалежно. Уявімо собі зображення з 16 градаціями сірого кольору. Кожен піксель визначається 4 бітами, а тому зображення поділяється на 4 дворівневі. Однак за такого підходу може порушитися основний принцип стиснення зображень. Уявімо два прилеглих 4-бітних пікселя зі значеннями  $7 = 0111_2$  і  $8 = 1000_2$ . Ці пікселі мають близькі значення, але при їхньому поділі на 4 шари, вони будуть різнитися у всіх 4 шарах! Відбувається це через те, що у двійковому поданні числа 7 і 8 різняться у всіх чотирьох розрядах. Для того, щоб успішно застосувати тут метод стиснення дворівневих зображень необхідно, щоб у двійковому поданні два послідовні числа мали двійкові коди, що відрізняються лише на один біт. Таке уявлення чисел існує і називається *рефлексними кодами Грея* (RGC, *reflected Gray code*). Їх легко побудувати, дотримуючись запропонованого рекурсивного правила.

Методи стиснення зображень, розроблені для конкретних типів графічних образів, можуть успішно застосовуватися для компресії інших типів. Наприклад, будь-який метод стиснення дворівневих зображень підходить для напівтонових образів, якщо попередньо розшарувати напівтоновий образ на декілька дворівневих і кожен шар стискати незалежно. Уявімо собі зображення з 16 градаціями сірого кольору. Кожен піксель визначається 4 бітами, а тому зображення поділяється на 4 дворівневі. Однак за такого підходу може порушитися основний принцип стиснення зображень. Уявімо два прилеглих 4-бітних пікселя зі значеннями  $7 = 0111_2$  і  $8 = 1000_2$ . Ці пікселі мають близькі значення, але при їхньому поділі на 4 шари, вони будуть різнитися у всіх 4 шарах! Відбувається це через те, що у двійковому поданні числа 7 і 8 різняться у всіх чотирьох розрядах. Для того, щоб успішно застосувати тут метод стиснення дворівневих зображень необхідно, щоб у двійковому поданні два послідовні числа мали двійкові коди, що відрізняються лише на один біт. Таке уявлення чисел існує і називається *рефлексними кодами Грея* (RGC, *reflected Gray code*). Їх легко побудувати, дотримуючись запропонованого рекурсивного правила.

Методи стиснення зображень, розроблені для конкретних типів графічних образів, можуть успішно застосовуватися для компресії інших типів. Наприклад, будь-який метод стиснення дворівневих зображень підходить для напівтонових образів, якщо попередньо розшарувати напівтоновий образ на декілька дворівневих і кожен шар стискати незалежно. Уявімо собі зображення з 16 градаціями сірого кольору. Кожен піксель визначається 4 бітами, а тому зображення поділяється на 4 дворівневі. Однак за такого підходу може порушитися основний принцип стиснення зображень. Уявімо два прилеглих 4-бітних пікселя зі значеннями  $7 = 0111_2$  і  $8 = 1000_2$ . Ці пікселі мають близькі значення, але при їхньому поділі на 4 шари, вони будуть різнитися у всіх 4 шарах! Відбувається це через те, що у двійковому поданні числа 7 і 8 різняться у всіх чотирьох розрядах. Для того, щоб успішно застосувати тут метод стиснення дворівневих зображень необхідно, щоб у двійковому поданні два послідовні числа мали двійкові коди, що відрізняються лише на один біт. Таке уявлення чисел існує і називається *рефлексними кодами Грея* (RGC, *reflected Gray code*). Їх легко побудувати, дотримуючись запропонованого рекурсивного правила.



Методи стиснення зображень, розроблені для конкретних типів графічних образів, можуть успішно застосовуватися для компресії інших типів. Наприклад, будь-який метод стиснення дворівневих зображень підходить для напівтонових образів, якщо попередньо розшарувати напівтоновий образ на декілька дворівневих і кожен шар стискати незалежно. Уявімо собі зображення з 16 градаціями сірого кольору. Кожен піксель визначається 4 бітами, а тому зображення поділяється на 4 дворівневі. Однак за такого підходу може порушитися основний принцип стиснення зображень. Уявімо два прилеглих 4-бітних пікселя зі значеннями  $7 = 0111_2$  і  $8 = 1000_2$ . Ці пікселі мають близькі значення, але при їхньому поділі на 4 шари, вони будуть різнитися у всіх 4 шарах! Відбувається це через те, що у двійковому поданні числа 7 і 8 різняться у всіх чотирьох розрядах. Для того, щоб успішно застосувати тут метод стиснення дворівневих зображень необхідно, щоб у двійковому поданні два послідовні числа мали двійкові коди, що відрізняються лише на один біт. Таке уявлення чисел існує і називається *рефлексними кодами Грея* (RGC, *reflected Gray code*). Їх легко побудувати, дотримуючись запропонованого рекурсивного правила.

Методи стиснення зображень, розроблені для конкретних типів графічних образів, можуть успішно застосовуватися для компресії інших типів. Наприклад, будь-який метод стиснення дворівневих зображень підходить для напівтонових образів, якщо попередньо розшарувати напівтоновий образ на декілька дворівневих і кожен шар стискати незалежно. Уявімо собі зображення з 16 градаціями сірого кольору. Кожен піксель визначається 4 бітами, а тому зображення поділяється на 4 дворівневі. Однак за такого підходу може порушитися основний принцип стиснення зображень. Уявімо два прилеглих 4-бітних пікселя зі значеннями  $7 = 0111_2$  і  $8 = 1000_2$ . Ці пікселі мають близькі значення, але при їхньому поділі на 4 шари, вони будуть різнитися у всіх 4 шарах! Відбувається це через те, що у двійковому поданні числа 7 і 8 різняться у всіх чотирьох розрядах. Для того, щоб успішно застосувати тут метод стиснення дворівневих зображень необхідно, щоб у двійковому поданні два послідовні числа мали двійкові коди, що відрізняються лише на один біт. Таке уявлення чисел існує і називається *рефлексними кодами Грея* (RGC, *reflected Gray code*). Їх легко побудувати, дотримуючись запропонованого рекурсивного правила.

Методи стиснення зображень, розроблені для конкретних типів графічних образів, можуть успішно застосовуватися для компресії інших типів. Наприклад, будь-який метод стиснення дворівневих зображень підходить для напівтонових образів, якщо попередньо розшарувати напівтоновий образ на декілька дворівневих і кожен шар стискати незалежно. Уявімо собі зображення з 16 градаціями сірого кольору. Кожен піксель визначається 4 бітами, а тому зображення поділяється на 4 дворівневі. Однак за такого підходу може порушитися основний принцип стиснення зображень. Уявімо два прилеглих 4-бітних пікселя зі значеннями  $7 = 0111_2$  і  $8 = 1000_2$ . Ці пікселі мають близькі значення, але при їхньому поділі на 4 шари, вони будуть різнитися у всіх 4 шарах! Відбувається це через те, що у двійковому поданні числа 7 і 8 різняться у всіх чотирьох розрядах. Для того, щоб успішно застосувати тут метод стиснення дворівневих зображень необхідно, щоб у двійковому поданні два послідовні числа мали двійкові коди, що відрізняються лише на один біт. Таке уявлення чисел існує і називається *рефлексними кодами Грея* (RGC, *reflected Gray code*). Їх легко побудувати, дотримуючись запропонованого рекурсивного правила.

Почнемо із двох одиниць кодів (0, 1). Побудуємо дві сім'ї двобітних кодів, повторивши (0, 1), а потім додавши зліва (або праворуч), спочатку 0, а потім 1 до вихідних сім'ї. В результаті отримуємо (00, 01) та (10, 11). Тепер слід переставити (відобразити симетрично) коди другої сім'ї у зворотному порядку та приписати до першої сім'ї. Тоді вийдуть 4 двобітні коди RGC (00, 01, 11, 10), за допомогою яких можна кодувати цілі числа від 0 до 3, причому послідовні числа будуть відрізнятися рівно в одному двійковому розряді. Застосовуємо цю процедуру ще раз і отримуємо дві сім'ї кодів довжини 3: (000, 001, 011, 010) та (110, 111, 101, 100). Об'єднуємо їх та отримуємо 3-бітові коди RGC. Виконаємо перші три кроки для утворення 4-бітних кодів Грея:

додати 0: (0000, 0001, 0011, 0010, 0110, 0111, 0101, 0100),  
додати 1: (1000, 1001, 1011, 1010, 1110, 1111, 1101, 1100),  
відобразити: (1100, 1101, 1111, 1110, 1010, 1011, 1001, 1000).

Почнемо із двох одиниць кодів (0, 1). Побудуємо дві сім'ї двобітних кодів, повторивши (0, 1), а потім додавши зліва (або праворуч), спочатку 0, а потім 1 до вихідних сім'ї. В результаті отримуємо (00, 01) та (10, 11). Тепер слід переставити (відобразити симетрично) коди другої сім'ї у зворотному порядку та приписати до першої сім'ї. Тоді вийдуть 4 двобітні коди RGC (00, 01, 11, 10), за допомогою яких можна кодувати цілі числа від 0 до 3, причому послідовні числа будуть відрізнятися рівно в одному двійковому розряді. Застосовуємо цю процедуру ще раз і отримуємо дві сім'ї кодів довжини 3: (000, 001, 011, 010) та (110, 111, 101, 100). Об'єднуємо їх та отримуємо 3-бітові коди RGC. Виконаємо перші три кроки для утворення 4-бітних кодів Грея:

додати 0: (0000, 0001, 0011, 0010, 0110, 0111, 0101, 0100),  
додати 1: (1000, 1001, 1011, 1010, 1110, 1111, 1101, 1100),  
відобразити: (1100, 1101, 1111, 1110, 1010, 1011, 1001, 1000).

Почнемо із двох одиниць кодів (0, 1). Побудуємо дві сім'ї двобітних кодів, повторивши (0, 1), а потім додавши зліва (або праворуч), спочатку 0, а потім 1 до вихідних сім'ї. В результаті отримаємо (00, 01) та (10, 11). Тепер слід переставити (відобразити симетрично) коди другої сім'ї у зворотному порядку та приписати до першої сім'ї. Тоді вийдуть 4 двобітні коди RGC (00, 01, 11, 10), за допомогою яких можна кодувати цілі числа від 0 до 3, причому послідовні числа будуть відрізнятися рівно в одному двійковому розряді. Застосовуємо цю процедуру ще раз і отримуємо дві сім'ї кодів довжини 3: (000, 001, 011, 010) та (110, 111, 101, 100). Об'єднуємо їх та отримуємо 3-бітові коди RGC. Виконаємо перші три кроки для утворення 4-бітних кодів Грея:

додати 0: (0000, 0001, 0011, 0010, 0110, 0111, 0101, 0100),  
додати 1: (1000, 1001, 1011, 1010, 1110, 1111, 1101, 1100),  
відобразити: (1100, 1101, 1111, 1110, 1010, 1011, 1001, 1000).

Почнемо із двох одиниць кодів (0, 1). Побудуємо дві сім'ї двобітних кодів, повторивши (0, 1), а потім додавши зліва (або праворуч), спочатку 0, а потім 1 до вихідних сім'ї. В результаті отримаємо (00, 01) та (10, 11). Тепер слід переставити (відобразити симетрично) коди другої сім'ї у зворотному порядку та приписати до першої сім'ї. Тоді вийдуть 4 двобітні коди RGC (00, 01, 11, 10), за допомогою яких можна кодувати цілі числа від 0 до 3, причому послідовні числа будуть відрізнятися рівно в одному двійковому розряді. Застосовуємо цю процедуру ще раз і отримуємо дві сім'ї кодів довжини 3: (000, 001, 011, 010) та (110, 111, 101, 100). Об'єднуємо їх та отримуємо 3-бітові коди RGC. Виконаємо перші три кроки для утворення 4-бітних кодів Грея:

додати 0: (0000, 0001, 0011, 0010, 0110, 0111, 0101, 0100),  
додати 1: (1000, 1001, 1011, 1010, 1110, 1111, 1101, 1100),  
відобразити: (1100, 1101, 1111, 1110, 1010, 1011, 1001, 1000).

Почнемо із двох одиниць кодів (0, 1). Побудуємо дві сім'ї двобітних кодів, повторивши (0, 1), а потім додавши зліва (або праворуч), спочатку 0, а потім 1 до вихідних сім'ї. В результаті отримаємо (00, 01) та (10, 11). Тепер слід переставити (відобразити симетрично) коди другої сім'ї у зворотному порядку та приписати до першої сім'ї. Тоді вийдуть 4 двобітні коди RGC (00, 01, 11, 10), за допомогою яких можна кодувати цілі числа від 0 до 3, причому послідовні числа будуть відрізнятися рівно в одному двійковому розряді. Застосовуємо цю процедуру ще раз і отримуємо дві сім'ї кодів довжини 3: (000, 001, 011, 010) та (110, 111, 101, 100). Об'єднуємо їх та отримуємо 3-бітові коди RGC. Виконаємо перші три кроки для утворення 4-бітних кодів Грея:

додати 0: (0000, 0001, 0011, 0010, 0110, 0111, 0101, 0100),  
додати 1: (1000, 1001, 1011, 1010, 1110, 1111, 1101, 1100),  
відобразити: (1100, 1101, 1111, 1110, 1010, 1011, 1001, 1000).



Почнемо із двох одиниць кодів (0, 1). Побудуємо дві сім'ї двобітних кодів, повторивши (0, 1), а потім додавши зліва (або праворуч), спочатку 0, а потім 1 до вихідних сім'ї. В результаті отримаємо (00, 01) та (10, 11). Тепер слід переставити (відобразити симетрично) коди другої сім'ї у зворотному порядку та приписати до першої сім'ї. Тоді вийдуть 4 двобітні коди RGC (00, 01, 11, 10), за допомогою яких можна кодувати цілі числа від 0 до 3, причому послідовні числа будуть відрізнятися рівно в одному двійковому розряді. Застосовуємо цю процедуру ще раз і отримуємо дві сім'ї кодів довжини 3: (000, 001, 011, 010) та (110, 111, 101, 100). Об'єднуємо їх та отримуємо 3-бітові коди RGC. Виконаємо перші три кроки для утворення 4-бітних кодів Грея:

додати 0: (0000, 0001, 0011, 0010, 0110, 0111, 0101, 0100),  
додати 1: (1000, 1001, 1011, 1010, 1110, 1111, 1101, 1100),  
відобразити: (1100, 1101, 1111, 1110, 1010, 1011, 1001, 1000).

Почнемо із двох одиниць кодів (0, 1). Побудуємо дві сім'ї двобітних кодів, повторивши (0, 1), а потім додавши зліва (або праворуч), спочатку 0, а потім 1 до вихідних сім'ї. В результаті отримуємо (00, 01) та (10, 11). Тепер слід переставити (відобразити симетрично) коди другої сім'ї у зворотному порядку та приписати до першої сім'ї. Тоді вийдуть 4 двобітні коди RGC (00, 01, 11, 10), за допомогою яких можна кодувати цілі числа від 0 до 3, причому послідовні числа будуть відрізнятися рівно в одному двійковому розряді. Застосовуємо цю процедуру ще раз і отримуємо дві сім'ї кодів довжини 3: (000, 001, 011, 010) та (110, 111, 101, 100). Об'єднуємо їх та отримуємо 3-бітові коди RGC. Виконаємо перші три кроки для утворення 4-бітних кодів Грея:

додати 0: (0000, 0001, 0011, 0010, 0110, 0111, 0101, 0100),  
додати 1: (1000, 1001, 1011, 1010, 1110, 1111, 1101, 1100),  
відобразити: (1100, 1101, 1111, 1110, 1010, 1011, 1001, 1000).

Почнемо із двох одиниць кодів (0, 1). Побудуємо дві сім'ї двобітних кодів, повторивши (0, 1), а потім додавши зліва (або праворуч), спочатку 0, а потім 1 до вихідних сім'ї. В результаті отримуємо (00, 01) та (10, 11). Тепер слід переставити (відобразити симетрично) коди другої сім'ї у зворотному порядку та приписати до першої сім'ї. Тоді вийдуть 4 двобітні коди RGC (00, 01, 11, 10), за допомогою яких можна кодувати цілі числа від 0 до 3, причому послідовні числа будуть відрізнятися рівно в одному двійковому розряді. Застосовуємо цю процедуру ще раз і отримуємо дві сім'ї кодів довжини 3: (000, 001, 011, 010) та (110, 111, 101, 100). Об'єднуємо їх та отримуємо 3-бітові коди RGC. Виконаємо перші три кроки для утворення 4-бітних кодів Грея:

додати 0: (0000, 0001, 0011, 0010, 0110, 0111, 0101, 0100),  
додати 1: (1000, 1001, 1011, 1010, 1110, 1111, 1101, 1100),  
відобразити: (1100, 1101, 1111, 1110, 1010, 1011, 1001, 1000).

Почнемо із двох одиниць кодів (0, 1). Побудуємо дві сім'ї двобітних кодів, повторивши (0, 1), а потім додавши зліва (або праворуч), спочатку 0, а потім 1 до вихідних сім'ї. В результаті отримаємо (00, 01) та (10, 11). Тепер слід переставити (відобразити симетрично) коди другої сім'ї у зворотному порядку та приписати до першої сім'ї. Тоді вийдуть 4 двобітні коди RGC (00, 01, 11, 10), за допомогою яких можна кодувати цілі числа від 0 до 3, причому послідовні числа будуть відрізнятися рівно в одному двійковому розряді. Застосовуємо цю процедуру ще раз і отримуємо дві сім'ї кодів довжини 3: (000, 001, 011, 010) та (110, 111, 101, 100). Об'єднуємо їх та отримуємо 3-бітові коди RGC. Виконаємо перші три кроки для утворення 4-бітних кодів Грея:

додати 0: (0000, 0001, 0011, 0010, 0110, 0111, 0101, 0100),  
додати 1: (1000, 1001, 1011, 1010, 1110, 1111, 1101, 1100),  
відобразити: (1100, 1101, 1111, 1110, 1010, 1011, 1001, 1000).

Почнемо із двох одиниць кодів (0, 1). Побудуємо дві сім'ї двобітних кодів, повторивши (0, 1), а потім додавши зліва (або праворуч), спочатку 0, а потім 1 до вихідних сім'ї. В результаті отримуємо (00, 01) та (10, 11). Тепер слід переставити (відобразити симетрично) коди другої сім'ї у зворотному порядку та приписати до першої сім'ї. Тоді вийдуть 4 двобітні коди RGC (00, 01, 11, 10), за допомогою яких можна кодувати цілі числа від 0 до 3, причому послідовні числа будуть відрізнятися рівно в одному двійковому розряді. Застосовуємо цю процедуру ще раз і отримуємо дві сім'ї кодів довжини 3: (000, 001, 011, 010) та (110, 111, 101, 100). Об'єднуємо їх та отримуємо 3-бітові коди RGC. Виконаємо перші три кроки для утворення 4-бітних кодів Грея:

додати 0: (0000, 0001, 0011, 0010, 0110, 0111, 0101, 0100),  
додати 1: (1000, 1001, 1011, 1010, 1110, 1111, 1101, 1100),  
відобразити: (1100, 1101, 1111, 1110, 1010, 1011, 1001, 1000).

Почнемо із двох одиниць кодів (0, 1). Побудуємо дві сім'ї двобітних кодів, повторивши (0, 1), а потім додавши зліва (або праворуч), спочатку 0, а потім 1 до вихідних сім'ї. В результаті отримаємо (00, 01) та (10, 11). Тепер слід переставити (відобразити симетрично) коди другої сім'ї у зворотному порядку та приписати до першої сім'ї. Тоді вийдуть 4 двобітні коди RGC (00, 01, 11, 10), за допомогою яких можна кодувати цілі числа від 0 до 3, причому послідовні числа будуть відрізнятися рівно в одному двійковому розряді. Застосовуємо цю процедуру ще раз і отримуємо дві сім'ї кодів довжини 3: (000, 001, 011, 010) та (110, 111, 101, 100). Об'єднуємо їх та отримуємо 3-бітові коди RGC. Виконаємо перші три кроки для утворення 4-бітних кодів Грея:

додати 0: (0000, 0001, 0011, 0010, 0110, 0111, 0101, 0100),  
додати 1: (1000, 1001, 1011, 1010, 1110, 1111, 1101, 1100),  
відобразити: (1100, 1101, 1111, 1110, 1010, 1011, 1001, 1000).

Почнемо із двох одиниць кодів (0, 1). Побудуємо дві сім'ї двобітних кодів, повторивши (0, 1), а потім додавши зліва (або праворуч), спочатку 0, а потім 1 до вихідних сім'ї. В результаті отримаємо (00, 01) та (10, 11). Тепер слід переставити (відобразити симетрично) коди другої сім'ї у зворотному порядку та приписати до першої сім'ї. Тоді вийдуть 4 двобітні коди RGC (00, 01, 11, 10), за допомогою яких можна кодувати цілі числа від 0 до 3, причому послідовні числа будуть відрізнятися рівно в одному двійковому розряді. Застосовуємо цю процедуру ще раз і отримуємо дві сім'ї кодів довжини 3: (000, 001, 011, 010) та (110, 111, 101, 100).

Об'єднуємо їх та отримуємо 3-бітові коди RGC. Виконаємо перші три кроки для утворення 4-бітних кодів Грея:

додати 0: (0000, 0001, 0011, 0010, 0110, 0111, 0101, 0100),  
додати 1: (1000, 1001, 1011, 1010, 1110, 1111, 1101, 1100),  
відобразити: (1100, 1101, 1111, 1110, 1010, 1011, 1001, 1000).

Почнемо із двох одиниць кодів (0, 1). Побудуємо дві сім'ї двобітних кодів, повторивши (0, 1), а потім додавши зліва (або праворуч), спочатку 0, а потім 1 до вихідних сім'ї. В результаті отримаємо (00, 01) та (10, 11). Тепер слід переставити (відобразити симетрично) коди другої сім'ї у зворотному порядку та приписати до першої сім'ї. Тоді вийдуть 4 двобітні коди RGC (00, 01, 11, 10), за допомогою яких можна кодувати цілі числа від 0 до 3, причому послідовні числа будуть відрізнятися рівно в одному двійковому розряді. Застосовуємо цю процедуру ще раз і отримуємо дві сім'ї кодів довжини 3: (000, 001, 011, 010) та (110, 111, 101, 100). Об'єднуємо їх та отримуємо 3-бітові коди RGC. Виконаємо перші три кроки для утворення 4-бітних кодів Грея:

додати 0: (0000, 0001, 0011, 0010, 0110, 0111, 0101, 0100),  
додати 1: (1000, 1001, 1011, 1010, 1110, 1111, 1101, 1100),  
відобразити: (1100, 1101, 1111, 1110, 1010, 1011, 1001, 1000).



Почнемо із двох одиниць кодів (0, 1). Побудуємо дві сім'ї двобітних кодів, повторивши (0, 1), а потім додавши зліва (або праворуч), спочатку 0, а потім 1 до вихідних сім'ї. В результаті отримаємо (00, 01) та (10, 11). Тепер слід переставити (відобразити симетрично) коди другої сім'ї у зворотному порядку та приписати до першої сім'ї. Тоді вийдуть 4 двобітні коди RGC (00, 01, 11, 10), за допомогою яких можна кодувати цілі числа від 0 до 3, причому послідовні числа будуть відрізнятися рівно в одному двійковому розряді. Застосовуємо цю процедуру ще раз і отримуємо дві сім'ї кодів довжини 3: (000, 001, 011, 010) та (110, 111, 101, 100). Об'єднуємо їх та отримуємо 3-бітові коди RGC. Виконаємо перші три кроки для утворення 4-бітних кодів Грея:

додати 0: (0000, 0001, 0011, 0010, 0110, 0111, 0101, 0100),  
додати 1: (1000, 1001, 1011, 1010, 1110, 1111, 1101, 1100),  
відобразити: (1100, 1101, 1111, 1110, 1010, 1011, 1001, 1000).

Почнемо із двох одиниць кодів (0, 1). Побудуємо дві сім'ї двобітних кодів, повторивши (0, 1), а потім додавши зліва (або праворуч), спочатку 0, а потім 1 до вихідних сім'ї. В результаті отримуємо (00, 01) та (10, 11). Тепер слід переставити (відобразити симетрично) коди другої сім'ї у зворотному порядку та приписати до першої сім'ї. Тоді вийдуть 4 двобітні коди RGC (00, 01, 11, 10), за допомогою яких можна кодувати цілі числа від 0 до 3, причому послідовні числа будуть відрізнятися рівно в одному двійковому розряді. Застосовуємо цю процедуру ще раз і отримуємо дві сім'ї кодів довжини 3: (000, 001, 011, 010) та (110, 111, 101, 100). Об'єднуємо їх та отримуємо 3-бітові коди RGC. Виконаємо перші три кроки для утворення 4-бітних кодів Грея:

додати 0:	(0000, 0001, 0011, 0010, 0110, 0111, 0101, 0100),
додати 1:	(1000, 1001, 1011, 1010, 1110, 1111, 1101, 1100),
відобразити:	(1100, 1101, 1111, 1110, 1010, 1011, 1001, 1000).

## Стиснення зображень. Коди Грея

43210	Gray	43210	Gray	43210	Gray	43210	Gray
00000	00000	<b>01000</b>	01100	<b>10000</b>	11000	<b>11000</b>	10100
00001	00001	01001	01101	10001	11001	11001	10101
00010	00011	<b>01010</b>	01111	<b>10010</b>	11011	<b>11010</b>	10111
00011	00010	01011	01110	10011	11010	11011	10110
00100	00110	<b>01100</b>	01010	<b>10100</b>	11110	<b>11100</b>	10010
00101	00111	01101	01011	10101	11111	11101	10011
00110	00101	<b>01110</b>	01001	<b>10110</b>	11101	<b>11110</b>	10001
00111	00100	01111	01000	10111	11100	11111	10000

```
function b=rgc(a,i)
[r,c]=size(a);
b= [zeros(r,l),a; ones(r,l),flipud(a)];
if i>l, b=rgc(b,i-1); end;
```

У табл. зображено, як змінюються окремі біти двійкових кодів, що становлять числа від 0 до 32. У цій таблиці в непарних стовпцях наведено звичайні двійкові коди цілих чисел. Жирним шрифтом виділено біти числа  $i$ , які відрізняються від відповідних бітів числа  $i - 1$ . Видно, що біт наймолодшого (нульового) розряду (біт  $b_0$ ) змінюється щоразу, біт  $b_1$  змінюється кожен другий раз, а в загальному випадку, біт  $b_k$  змінюється у кожного  $2^k$ -го цілого числа. У парних стовпцях таблиці розміщено всі послідовні коди Грея. Під таблицею наведено рекурсивну функцію Matlab, яка обчислює коди Грея.

## Стиснення зображень. Коди Грея

43210	Gray	43210	Gray	43210	Gray	43210	Gray
00000	00000	<b>01000</b>	01100	<b>10000</b>	11000	<b>11000</b>	10100
00001	00001	01001	01101	10001	11001	11001	10101
00010	00011	<b>01010</b>	01111	<b>10010</b>	11011	<b>11010</b>	10111
00011	00010	01011	01110	10011	11010	11011	10110
00100	00110	<b>01100</b>	01010	<b>10100</b>	11110	<b>11100</b>	10010
00101	00111	01101	01011	10101	11111	11101	10011
00110	00101	<b>01110</b>	01001	<b>10110</b>	11101	<b>11110</b>	10001
00111	00100	01111	01000	10111	11100	11111	10000

```
function b=rgc(a,i)
[r,c]=size(a);
b= [zeros(r,l),a; ones(r,l),flipud(a)];
if i>l, b=rgc(b,i-1); end;
```

У табл. зображено, як змінюються окремі біти двійкових кодів, що становлять числа від 0 до 32. У цій таблиці в непарних стовпцях наведено звичайні двійкові коди цілих чисел. Жирним шрифтом виділено біти числа  $i$ , які відрізняються від відповідних бітів числа  $i - 1$ . Видно, що біт наймолодшого (нульового) розряду (біт  $b_0$ ) змінюється щоразу, біт  $b_1$  змінюється кожен другий раз, а в загальному випадку, біт  $b_k$  змінюється у кожного  $2^k$ -го цілого числа. У парних стовпцях таблиці розміщено всі послідовні коди Грея. Під таблицею наведено рекурсивну функцію Matlab, яка обчислює коди Грея.

## Стиснення зображень. Коди Грея

43210	Gray	43210	Gray	43210	Gray	43210	Gray
00000	00000	<b>01000</b>	01100	<b>10000</b>	11000	<b>11000</b>	10100
00001	00001	01001	01101	10001	11001	11001	10101
00010	00011	<b>01010</b>	01111	<b>10010</b>	11011	<b>11010</b>	10111
00011	00010	01011	01110	10011	11010	11011	10110
00100	00110	<b>01100</b>	01010	<b>10100</b>	11110	<b>11100</b>	10010
00101	00111	01101	01011	10101	11111	11101	10011
00110	00101	<b>01110</b>	01001	<b>10110</b>	11101	<b>11110</b>	10001
00111	00100	01111	01000	10111	11100	11111	10000

```
function b=rgc(a,i)
[r,c]=size(a);
b= [zeros(r,l),a; ones(r,l),flipud(a)];
if i>l, b=rgc(b,i-1); end;
```

У табл. зображено, як змінюються окремі біти двійкових кодів, що становлять числа від 0 до 32. У цій таблиці в непарних стовпцях наведено звичайні двійкові коди цілих чисел. Жирним шрифтом виділено біти числа  $i$ , які відрізняються від відповідних бітів числа  $i - 1$ . Видно, що біт наймолодшого (нульового) розряду (біт  $b_0$ ) змінюється щоразу, біт  $b_1$  змінюється кожен другий раз, а в загальному випадку, біт  $b_k$  змінюється у кожного  $2^k$ -го цілого числа. У парних стовпцях таблиці розміщено всі послідовні коди Грея. Під таблицею наведено рекурсивну функцію Matlab, яка обчислює коди Грея.

## Стиснення зображень. Коди Грея

43210	Gray	43210	Gray	43210	Gray	43210	Gray
00000	00000	<b>01000</b>	01100	<b>10000</b>	11000	<b>11000</b>	10100
00001	00001	01001	01101	10001	11001	11001	10101
00010	00011	<b>01010</b>	01111	<b>10010</b>	11011	<b>11010</b>	10111
00011	00010	01011	01110	10011	11010	11011	10110
00100	00110	<b>01100</b>	01010	<b>10100</b>	11110	<b>11100</b>	10010
00101	00111	01101	01011	10101	11111	11101	10011
00110	00101	<b>01110</b>	01001	<b>10110</b>	11101	<b>11110</b>	10001
00111	00100	01111	01000	10111	11100	11111	10000

```
function b=rgc(a,i)
[r,c]=size(a);
b= [zeros(r,1),a; ones(r,1),flipud(a)];
if i>1, b=rgc(b,i-1); end;
```

У табл. зображено, як змінюються окремі біти двійкових кодів, що становлять числа від 0 до 32. У цій таблиці в непарних стовпцях наведено звичайні двійкові коди цілих чисел. Жирним шрифтом виділено біти числа  $i$ , які відрізняються від відповідних бітів числа  $i - 1$ . Видно, що біт наймолодшого (нульового) розряду (біт  $b_0$ ) змінюється щоразу, біт  $b_1$  змінюється кожен другий раз, а в загальному випадку, біт  $b_k$  змінюється у кожного  $2^k$ -го цілого числа. У парних стовпцях таблиці розміщено всі послідовні коди Грея. Під таблицею наведено рекурсивну функцію Matlab, яка обчислює коди Грея.

## Стиснення зображень. Коди Грея

43210	Gray	43210	Gray	43210	Gray	43210	Gray
00000	00000	<b>01000</b>	01100	<b>10000</b>	11000	<b>11000</b>	10100
00001	00001	01001	01101	10001	11001	11001	10101
00010	00011	<b>01010</b>	01111	<b>10010</b>	11011	<b>11010</b>	10111
00011	00010	01011	01110	10011	11010	11011	10110
00100	00110	<b>01100</b>	01010	<b>10100</b>	11110	<b>11100</b>	10010
00101	00111	01101	01011	10101	11111	11101	10011
00110	00101	<b>01110</b>	01001	<b>10110</b>	11101	<b>11110</b>	10001
00111	00100	01111	01000	10111	11100	11111	10000

```
function b=rgc(a,i)
[r,c]=size(a);
b= [zeros(r,1),a; ones(r,1),flipud(a)];
if i>1, b=rgc(b,i-1); end;
```

У табл. зображено, як змінюються окремі біти двійкових кодів, що становлять числа від 0 до 32. У цій таблиці в непарних стовпцях наведено звичайні двійкові коди цілих чисел. Жирним шрифтом виділено біти числа  $i$ , які відрізняються від відповідних бітів числа  $i - 1$ . Видно, що біт наймолодшого (нульового) розряду (біт  $b_0$ ) змінюється щоразу, біт  $b_1$  змінюється кожен другий раз, а в загальному випадку, біт  $b_k$  змінюється у кожного  $2^k$ -го цілого числа. У парних стовпцях таблиці розміщено всі послідовні коди Грея. Під таблицею наведено рекурсивну функцію Matlab, яка обчислює коди Грея.

## Стиснення зображень. Коди Грея

43210	Gray	43210	Gray	43210	Gray	43210	Gray
00000	00000	<b>01000</b>	01100	<b>10000</b>	11000	<b>11000</b>	10100
00001	00001	01001	01101	10001	11001	11001	10101
00010	00011	<b>01010</b>	01111	<b>10010</b>	11011	<b>11010</b>	10111
00011	00010	01011	01110	10011	11010	11011	10110
00100	00110	<b>01100</b>	01010	<b>10100</b>	11110	<b>11100</b>	10010
00101	00111	01101	01011	10101	11111	11101	10011
00110	00101	<b>01110</b>	01001	<b>10110</b>	11101	<b>11110</b>	10001
00111	00100	01111	01000	10111	11100	11111	10000

```
function b=rgc(a,i)
[r,c]=size(a);
b= [zeros(r,1),a; ones(r,1),flipud(a)];
if i>1, b=rgc(b,i-1); end;
```

У табл. зображено, як змінюються окремі біти двійкових кодів, що становлять числа від 0 до 32. У цій таблиці в непарних стовпцях наведено звичайні двійкові коди цілих чисел. Жирним шрифтом виділено біти числа  $i$ , які відрізняються від відповідних бітів числа  $i - 1$ . Видно, що біт наймолодшого (нульового) розряду (біт  $b_0$ ) змінюється щоразу, біт  $b_1$  змінюється кожен другий раз, а в загальному випадку, біт  $b_k$  змінюється у кожного  $2^k$ -го цілого числа. У парних стовпцях таблиці розміщено всі послідовні коди Грея. Під таблицею наведено рекурсивну функцію Matlab, яка обчислює коди Грея.



## Стиснення зображень. Коди Грея

43210	Gray	43210	Gray	43210	Gray	43210	Gray
00000	00000	<b>01000</b>	01100	<b>10000</b>	11000	<b>11000</b>	10100
00001	00001	01001	01101	10001	11001	11001	10101
00010	00011	<b>01010</b>	01111	<b>10010</b>	11011	<b>11010</b>	10111
00011	00010	01011	01110	10011	11010	11011	10110
00100	00110	<b>01100</b>	01010	<b>10100</b>	11110	<b>11100</b>	10010
00101	00111	01101	01011	10101	11111	11101	10011
00110	00101	<b>01110</b>	01001	<b>10110</b>	11101	<b>11110</b>	10001
00111	00100	01111	01000	10111	11100	11111	10000

```
function b=rgc(a,i)
[r,c]=size(a);
b= [zeros(r,1),a; ones(r,1),flipud(a)];
if i>1, b=rgc(b,i-1); end;
```

У табл. зображено, як змінюються окремі біти двійкових кодів, що становлять числа від 0 до 32. У цій таблиці в непарних стовпцях наведено звичайні двійкові коди цілих чисел. Жирним шрифтом виділено біти числа  $i$ , які відрізняються від відповідних бітів числа  $i - 1$ . Видно, що біт наймолодшого (нульового) розряду (біт  $b_0$ ) змінюється щоразу, біт  $b_1$  змінюється кожен другий раз, а в загальному випадку, біт  $b_k$  змінюється у кожного  $2^k$ -го цілого числа. У парних стовпцях таблиці розміщено всі послідовні коди Грея. Під таблицею наведено рекурсивну функцію Matlab, яка обчислює коди Грея.

## Стиснення зображень. Коди Грея

43210	Gray	43210	Gray	43210	Gray	43210	Gray
00000	00000	<b>01000</b>	01100	<b>10000</b>	11000	<b>11000</b>	10100
00001	00001	01001	01101	10001	11001	11001	10101
00010	00011	<b>01010</b>	01111	<b>10010</b>	11011	<b>11010</b>	10111
00011	00010	01011	01110	10011	11010	11011	10110
00100	00110	<b>01100</b>	01010	<b>10100</b>	11110	<b>11100</b>	10010
00101	00111	01101	01011	10101	11111	11101	10011
00110	00101	<b>01110</b>	01001	<b>10110</b>	11101	<b>11110</b>	10001
00111	00100	01111	01000	10111	11100	11111	10000

```
function b=rgc(a,i)
[r,c]=size(a);
b= [zeros(r,1),a; ones(r,1),flipud(a)];
if i>1, b=rgc(b,i-1); end;
```

У табл. зображено, як змінюються окремі біти двійкових кодів, що становлять числа від 0 до 32. У цій таблиці в непарних стовпцях наведено звичайні двійкові коди цілих чисел. Жирним шрифтом виділено біти числа  $i$ , які відрізняються від відповідних бітів числа  $i - 1$ . Видно, що біт наймолодшого (нульового) розряду (біт  $b_0$ ) змінюється щоразу, біт  $b_1$  змінюється кожен другий раз, а в загальному випадку, біт  $b_k$  змінюється у кожного  $2^k$ -го цілого числа. У парних стовпцях таблиці розміщено всі послідовні коди Грея. Під таблицею наведено рекурсивну функцію Matlab, яка обчислює коди Грея.

## Стиснення зображень. Коди Грея

43210	Gray	43210	Gray	43210	Gray	43210	Gray
00000	00000	<b>01000</b>	01100	<b>10000</b>	11000	<b>11000</b>	10100
00001	00001	01001	01101	10001	11001	11001	10101
00010	00011	<b>01010</b>	01111	<b>10010</b>	11011	<b>11010</b>	10111
00011	00010	01011	01110	10011	11010	11011	10110
00100	00110	<b>01100</b>	01010	<b>10100</b>	11110	<b>11100</b>	10010
00101	00111	01101	01011	10101	11111	11101	10011
00110	00101	<b>01110</b>	01001	<b>10110</b>	11101	<b>11110</b>	10001
00111	00100	01111	01000	10111	11100	11111	10000

```
function b=rgc(a,i)
[r,c]=size(a);
b= [zeros(r,1),a; ones(r,1),flipud(a)];
if i>1, b=rgc(b,i-1); end;
```

У табл. зображено, як змінюються окремі біти двійкових кодів, що становлять числа від 0 до 32. У цій таблиці в непарних стовпцях наведено звичайні двійкові коди цілих чисел. Жирним шрифтом виділено біти числа  $i$ , які відрізняються від відповідних бітів числа  $i - 1$ . Видно, що біт наймолодшого (нульового) розряду (біт  $b_0$ ) змінюється щоразу, біт  $b_1$  змінюється кожен другий раз, а в загальному випадку, біт  $b_k$  змінюється у кожного  $2^k$ -го цілого числа. У парних стовпцях таблиці розміщено всі послідовні коди Грея. Під таблицею наведено рекурсивну функцію Matlab, яка обчислює коди Грея.

## Стиснення зображень. Коди Грея

43210	Gray	43210	Gray	43210	Gray	43210	Gray
00000	00000	<b>01000</b>	01100	<b>10000</b>	11000	<b>11000</b>	10100
00001	00001	01001	01101	10001	11001	11001	10101
00010	00011	<b>01010</b>	01111	<b>10010</b>	11011	<b>11010</b>	10111
00011	00010	01011	01110	10011	11010	11011	10110
00100	00110	<b>01100</b>	01010	<b>10100</b>	11110	<b>11100</b>	10010
00101	00111	01101	01011	10101	11111	11101	10011
00110	00101	<b>01110</b>	01001	<b>10110</b>	11101	<b>11110</b>	10001
00111	00100	01111	01000	10111	11100	11111	10000

```
function b=rgc(a,i)
[r,c]=size(a);
b= [zeros(r,1),a; ones(r,1),flipud(a)];
if i>1, b=rgc(b,i-1); end;
```

У табл. зображено, як змінюються окремі біти двійкових кодів, що становлять числа від 0 до 32. У цій таблиці в непарних стовпцях наведено звичайні двійкові коди цілих чисел. Жирним шрифтом виділено біти числа  $i$ , які відрізняються від відповідних бітів числа  $i - 1$ . Видно, що біт наймолодшого (нульового) розряду (біт  $b_0$ ) змінюється щоразу, біт  $b_1$  змінюється кожен другий раз, а в загальному випадку, біт  $b_k$  змінюється у кожного  $2^k$ -го цілого числа. У парних стовпцях таблиці розміщено всі послідовні коди Грея. Під таблицею наведено рекурсивну функцію Matlab, яка обчислює коди Грея.

## Стиснення зображень. Коди Грея

43210	Gray	43210	Gray	43210	Gray	43210	Gray
00000	00000	<b>01000</b>	01100	<b>10000</b>	11000	<b>11000</b>	10100
00001	00001	01001	01101	10001	11001	11001	10101
00010	00011	<b>01010</b>	01111	<b>10010</b>	11011	<b>11010</b>	10111
00011	00010	01011	01110	10011	11010	11011	10110
00100	00110	<b>01100</b>	01010	<b>10100</b>	11110	<b>11100</b>	10010
00101	00111	<b>01101</b>	01011	<b>10101</b>	11111	<b>11101</b>	10011
00110	00101	<b>01110</b>	01001	<b>10110</b>	11101	<b>11110</b>	10001
00111	00100	<b>01111</b>	01000	<b>10111</b>	11100	<b>11111</b>	10000

```
function b=rgc(a,i)
[r,c]=size(a);
b= [zeros(r,1),a; ones(r,1),flipud(a)];
if i>1, b=rgc(b,i-1); end;
```

У табл. зображено, як змінюються окремі біти двійкових кодів, що становлять числа від 0 до 32. У цій таблиці в непарних стовпцях наведено звичайні двійкові коди цілих чисел. Жирним шрифтом виділено біти числа  $i$ , які відрізняються від відповідних бітів числа  $i - 1$ . Видно, що біт наймолодшого (нульового) розряду (біт  $b_0$ ) змінюється щоразу, біт  $b_1$  змінюється кожен другий раз, а в загальному випадку, біт  $b_k$  змінюється у кожного  $2^k$ -го цілого числа. У парних стовпцях таблиці розміщено всі послідовні коди Грея. Під таблицею наведено рекурсивну функцію Matlab, яка обчислює коди Грея.

## Стиснення зображень. Коди Грея

<u>43210</u>	<u>Gray</u>	<u>43210</u>	<u>Gray</u>	<u>43210</u>	<u>Gray</u>	<u>43210</u>	<u>Gray</u>
00000	00000	<b>01000</b>	01100	<b>10000</b>	11000	<b>11000</b>	10100
00001	00001	01001	01101	10001	11001	11001	10101
00010	00011	<b>01010</b>	01111	<b>10010</b>	11011	<b>11010</b>	10111
00011	00010	01011	01110	10011	11010	11011	10110
00100	00110	<b>01100</b>	01010	<b>10100</b>	11110	<b>11100</b>	10010
00101	00111	<b>01101</b>	01011	<b>10101</b>	11111	<b>11101</b>	10011
00110	00101	<b>01110</b>	01001	<b>10110</b>	11101	<b>11110</b>	10001
00111	00100	01111	01000	10111	11100	11111	10000

```
a=linspace(0,31,32); b=bitshift(a,-1);  
b=bitxor(a,b); dec2bin(b)
```

Коди RGC можна побудувати для цілого числа  $n$ , і не вдаючись до рекурсивної процедури. Достатньо застосувати функцію “ВИКЛЮЧНЕ АБО” до  $n$  і до його логічного зсуву на один розряд вправо. Мовою С це запишеться наступними операторами:

$$n \wedge (n \gg 1).$$

Табл. була породжена саме цим виразом.

## Стиснення зображень. Коди Грея

<u>43210</u>	<u>Gray</u>	<u>43210</u>	<u>Gray</u>	<u>43210</u>	<u>Gray</u>	<u>43210</u>	<u>Gray</u>
00000	00000	<b>01000</b>	01100	<b>10000</b>	11000	<b>11000</b>	10100
00001	00001	01001	01101	10001	11001	11001	10101
00010	00011	<b>01010</b>	01111	<b>10010</b>	11011	<b>11010</b>	10111
00011	00010	01011	01110	10011	11010	11011	10110
00100	00110	<b>01100</b>	01010	<b>10100</b>	11110	<b>11100</b>	10010
00101	00111	<b>01101</b>	01011	<b>10101</b>	11111	<b>11101</b>	10011
00110	00101	<b>01110</b>	01001	<b>10110</b>	11101	<b>11110</b>	10001
00111	00100	01111	01000	10111	11100	11111	10000

```
a=linspace(0,31,32); b=bitshift(a,-1);  
b=bitxor(a,b); dec2bin(b)
```

Коди RGC можна побудувати для цілого числа  $n$ , і не вдаючись до рекурсивної процедури. Достатньо застосувати функцію “ВИКЛЮЧНЕ АБО” до  $n$  і до його логічного зсуву на один розряд вправо. Мовою С це запишеться наступними операторами:

$$n \wedge (n \gg 1).$$

Табл. була породжена саме цим виразом.

## Стиснення зображень. Коди Грея

43210	Gray	43210	Gray	43210	Gray	43210	Gray
00000	00000	<b>01000</b>	01100	<b>10000</b>	11000	<b>11000</b>	10100
00001	00001	01001	01101	10001	11001	11001	10101
00010	00011	<b>01010</b>	01111	<b>10010</b>	11011	<b>11010</b>	10111
00011	00010	01011	01110	10011	11010	11011	10110
00100	00110	<b>01100</b>	01010	<b>10100</b>	11110	<b>11100</b>	10010
00101	00111	<b>01101</b>	01011	<b>10101</b>	11111	<b>11101</b>	10011
00110	00101	<b>01110</b>	01001	<b>10110</b>	11101	<b>11110</b>	10001
00111	00100	01111	01000	10111	11100	11111	10000

```
a=linspace(0,31,32); b=bitshift(a,-1);  
b=bitxor(a,b); dec2bin(b)
```

Коди RGC можна побудувати для цілого числа  $n$ , і не вдаючись до рекурсивної процедури. Достатньо застосувати функцію “ВИКЛЮЧНЕ АБО” до  $n$  і до його логічного зсуву на один розряд вправо. Мовою С це запишеться наступними операторами:

$$n \wedge (n \gg 1).$$

Табл. була породжена саме цим виразом.



## Стиснення зображень. Коди Грея

<u>43210</u>	<u>Gray</u>	<u>43210</u>	<u>Gray</u>	<u>43210</u>	<u>Gray</u>	<u>43210</u>	<u>Gray</u>
00000	00000	<b>01000</b>	01100	<b>10000</b>	11000	<b>11000</b>	10100
00001	00001	01001	01101	10001	11001	11001	10101
00010	00011	<b>01010</b>	01111	<b>10010</b>	11011	<b>11010</b>	10111
00011	00010	01011	01110	10011	11010	11011	10110
00100	00110	<b>01100</b>	01010	<b>10100</b>	11110	<b>11100</b>	10010
00101	00111	<b>01101</b>	01011	<b>10101</b>	11111	<b>11101</b>	10011
00110	00101	<b>01110</b>	01001	<b>10110</b>	11101	<b>11110</b>	10001
00111	00100	01111	01000	10111	11100	11111	10000

```
a=linspace(0,31,32); b=bitshift(a,-1);  
b=bitxor(a,b); dec2bin(b)
```

Коди RGC можна побудувати для цілого числа  $n$ , і не вдаючись до рекурсивної процедури. Достатньо застосувати функцію “ВИКЛЮЧНЕ АБО” до  $n$  і до його логічного зсуву на один розряд вправо. Мовою C це запишеться наступними операторами:

$$n \wedge (n \gg 1).$$

Табл. була породжена саме цим виразом.

## Стиснення зображень. Коди Грея

<u>43210</u>	<u>Gray</u>	<u>43210</u>	<u>Gray</u>	<u>43210</u>	<u>Gray</u>	<u>43210</u>	<u>Gray</u>
00000	00000	<b>01000</b>	01100	<b>10000</b>	11000	<b>11000</b>	10100
00001	00001	01001	01101	10001	11001	11001	10101
00010	00011	<b>01010</b>	01111	<b>10010</b>	11011	<b>11010</b>	10111
00011	00010	01011	01110	10011	11010	11011	10110
00100	00110	<b>01100</b>	01010	<b>10100</b>	11110	<b>11100</b>	10010
00101	00111	<b>01101</b>	01011	<b>10101</b>	11111	<b>11101</b>	10011
00110	00101	<b>01110</b>	01001	<b>10110</b>	11101	<b>11110</b>	10001
00111	00100	01111	01000	10111	11100	11111	10000

```
a=linspace(0,31,32); b=bitshift(a,-1);  
b=bitxor(a,b); dec2bin(b)
```

Коди RGC можна побудувати для цілого числа  $n$ , і не вдаючись до рекурсивної процедури. Достатньо застосувати функцію “ВИКЛЮЧНЕ АБО” до  $n$  і до його логічного зсуву на один розряд вправо. Мовою C це запишеться наступними операторами:

$$n \hat{=} (n \gg 1).$$

Табл. була породжена саме цим виразом.

## Стиснення зображень. Коди Грея

<u>43210</u>	<u>Gray</u>	<u>43210</u>	<u>Gray</u>	<u>43210</u>	<u>Gray</u>	<u>43210</u>	<u>Gray</u>
00000	00000	<b>01000</b>	01100	<b>10000</b>	11000	<b>11000</b>	10100
00001	00001	01001	01101	10001	11001	11001	10101
00010	00011	<b>01010</b>	01111	<b>10010</b>	11011	<b>11010</b>	10111
00011	00010	01011	01110	10011	11010	11011	10110
00100	00110	<b>01100</b>	01010	<b>10100</b>	11110	<b>11100</b>	10010
00101	00111	<b>01101</b>	01011	<b>10101</b>	11111	<b>11101</b>	10011
00110	00101	<b>01110</b>	01001	<b>10110</b>	11101	<b>11110</b>	10001
00111	00100	01111	01000	10111	11100	11111	10000

```
a=linspace(0,31,32); b=bitshift(a,-1);  
b=bitxor(a,b); dec2bin(b)
```

Коди RGC можна побудувати для цілого числа  $n$ , і не вдаючись до рекурсивної процедури. Достатньо застосувати функцію “ВИКЛЮЧНЕ АБО” до  $n$  і до його логічного зсуву на один розряд вправо. Мовою С це запишеться наступними операторами:

$$n \wedge (n \gg 1).$$

Табл. була породжена саме цим виразом.

## Стиснення зображень. Коди Грея

<u>43210</u>	<u>Gray</u>	<u>43210</u>	<u>Gray</u>	<u>43210</u>	<u>Gray</u>	<u>43210</u>	<u>Gray</u>
00000	00000	<b>01000</b>	01100	<b>10000</b>	11000	<b>11000</b>	10100
00001	00001	01001	01101	10001	11001	11001	10101
00010	00011	<b>01010</b>	01111	<b>10010</b>	11011	<b>11010</b>	10111
00011	00010	01011	01110	10011	11010	11011	10110
00100	00110	<b>01100</b>	01010	<b>10100</b>	11110	<b>11100</b>	10010
00101	00111	<b>01101</b>	01011	<b>10101</b>	11111	<b>11101</b>	10011
00110	00101	<b>01110</b>	01001	<b>10110</b>	11101	<b>11110</b>	10001
00111	00100	01111	01000	10111	11100	11111	10000

```
a=linspace(0,31,32); b=bitshift(a,-1);  
b=bitxor(a,b); dec2bin(b)
```

Коди RGC можна побудувати для цілого числа  $n$ , і не вдаючись до рекурсивної процедури. Достатньо застосувати функцію “ВИКЛЮЧНЕ АБО” до  $n$  і до його логічного зсуву на один розряд вправо. Мовою С це запишеться наступними операторами:

$$n \wedge (n \gg 1).$$

Табл. була породжена саме цим виразом.

Можна зробити такий висновок. Шар, який відповідає найстаршому двійковому розряду (у звичному уявленні) зображення, підпорядковується принципу стискування більшої, ніж шар наймолодшого розряду. Коли сусідні пікселі мають значення, які різняться на одиницю (рівні  $p$  і  $p + 1$ ), шанси на те, що їхні менш значущі або більш значущі розряди відрізняються, однакові. Отже, будь-який метод компресії, який окремо стискати шари повинен або враховувати цю особливість розрядності шарів, або використовувати коди Грея для представлення величин пікселів.

На наступних трьох рис. зображено вісім побітих шарів картинки “папуги” у звичайному двійковому зображенні (ліворуч) та у вигляді кодів Грея (праворуч).

Можна зробити такий висновок. Шар, який відповідає найстаршому двійковому розряду (у звичному уявленні) зображення, підпорядковується принципу стискування більшої, ніж шар наймолодшого розряду. Коли сусідні пікселі мають значення, які різняться на одиницю (рівні  $p$  і  $p + 1$ ), шанси на те, що їхні менш значущі або більш значущі розряди відрізняються, однакові. Отже, будь-який метод компресії, який окремо стискати шари повинен або враховувати цю особливість розрядності шарів, або використовувати коди Грея для представлення величин пікселів.

На наступних трьох рис. зображено вісім побітих шарів картини “папуги” у звичайному двійковому зображенні (ліворуч) та у вигляді кодів Грея (праворуч).

Можна зробити такий висновок. Шар, який відповідає найстаршому двійковому розряду (у звичному уявленні) зображення, підпорядковується принципу стискування більшої, ніж шар наймолодшого розряду. Коли сусідні пікселі мають значення, які різняться на одиницю (рівні  $p$  і  $p + 1$ ), шанси на те, що їхні менш значущі або більш значущі розряди відрізняються, однакові. Отже, будь-який метод компресії, який окремо стискати шари повинен або враховувати цю особливість розрядності шарів, або використовувати коди Грея для представлення величин пікселів.

На наступних трьох рис. зображено вісім побітих шарів картини “папуги” у звичайному двійковому зображенні (ліворуч) та у вигляді кодів Грея (праворуч).

Можна зробити такий висновок. Шар, який відповідає найстаршому двійковому розряду (у звичному уявленні) зображення, підпорядковується принципу стискування більшої, ніж шар наймолодшого розряду. Коли сусідні пікселі мають значення, які різняться на одиницю (рівні  $p$  і  $p + 1$ ), шанси на те, що їхні менш значущі або більш значущі розряди відрізняються, однакові. Отже, будь-який метод компресії, який окремо стискати шари повинен або враховувати цю особливість розрядності шарів, або використовувати коди Грея для представлення величин пікселів.

На наступних трьох рис. зображено вісім побітих шарів картини "папуги" у звичайному двійковому зображенні (ліворуч) та у вигляді кодів Грея (праворуч).



Можна зробити такий висновок. Шар, який відповідає найстаршому двійковому розряду (у звичному уявленні) зображення, підпорядковується принципу стискування більшої, ніж шар наймолодшого розряду. Коли сусідні пікселі мають значення, які різняться на одиницю (рівні  $p$  і  $p + 1$ ), шанси на те, що їхні менш значущі або більш значущі розряди відрізняються, однакові. Отже, будь-який метод компресії, який окремо стискати шари повинен або враховувати цю особливість розрядності шарів, або використовувати коди Грея для представлення величин пікселів.

На наступних трьох рис. зображено вісім побітих шарів картини "папуги" у звичайному двійковому зображенні (ліворуч) та у вигляді кодів Грея (праворуч).

Можна зробити такий висновок. Шар, який відповідає найстаршому двійковому розряду (у звичному уявленні) зображення, підпорядковується принципу стискування більшої, ніж шар наймолодшого розряду. Коли сусідні пікселі мають значення, які різняться на одиницю (рівні  $p$  і  $p + 1$ ), шанси на те, що їхні менш значущі або більш значущі розряди відрізняються, однакові. Отже, будь-який метод компресії, який окремо стискати шари повинен або враховувати цю особливість розрядності шарів, або використовувати коди Грея для представлення величин пікселів.

На наступних трьох рис. зображено вісім побітих шарів картини "папуги" у звичайному двійковому зображенні (ліворуч) та у вигляді кодів Грея (праворуч).

Можна зробити такий висновок. Шар, який відповідає найстаршому двійковому розряду (у звичному уявленні) зображення, підпорядковується принципу стискування більшої, ніж шар наймолодшого розряду. Коли сусідні пікселі мають значення, які різняться на одиницю (рівні  $p$  і  $p + 1$ ), шанси на те, що їхні менш значущі або більш значущі розряди відрізняються, однакові. Отже, будь-який метод компресії, який окремо стискати шари повинен або враховувати цю особливість розрядності шарів, або використовувати коди Грея для представлення величин пікселів.

На наступних трьох рис. зображено вісім побітих шарів картини "папуги" у звичайному двійковому зображенні (ліворуч) та у вигляді кодів Грея (праворуч).

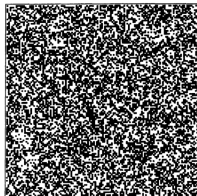
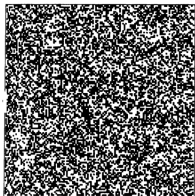
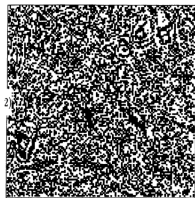
Можна зробити такий висновок. Шар, який відповідає найстаршому двійковому розряду (у звичному уявленні) зображення, підпорядковується принципу стискування більшої, ніж шар наймолодшого розряду. Коли сусідні пікселі мають значення, які різняться на одиницю (рівні  $p$  і  $p + 1$ ), шанси на те, що їхні менш значущі або більш значущі розряди відрізняються, однакові. Отже, будь-який метод компресії, який окремо стискати шари повинен або враховувати цю особливість розрядності шарів, або використовувати коди Грея для представлення величин пікселів.

На наступних трьох рис. зображено вісім побітих шарів картинки "папуги" у звичайному двійковому зображенні (ліворуч) та у вигляді кодів Грея (праворуч).

Можна зробити такий висновок. Шар, який відповідає найстаршому двійковому розряду (у звичному уявленні) зображення, підпорядковується принципу стискування більшої, ніж шар наймолодшого розряду. Коли сусідні пікселі мають значення, які різняться на одиницю (рівні  $p$  і  $p + 1$ ), шанси на те, що їхні менш значущі або більш значущі розряди відрізняються, однакові. Отже, будь-який метод компресії, який окремо стискати шари повинен або враховувати цю особливість розрядності шарів, або використовувати коди Грея для представлення величин пікселів.

На наступних трьох рис. зображено вісім побітих шарів картинки “папуги” у звичайному двійковому зображенні (ліворуч) та у вигляді кодів Грея (праворуч).

# Стиснення зображень. Код Грея



Двійковий код. Код Грея (Шари 1 та 2 зображення “папуги”)



# Стиснення зображень. Код Грея



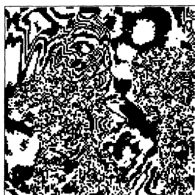
(5)



(4)



(3)



Двійковий код

Код Грея (Шари 3, 4 та 5 зображення "папуги")

## Стиснення зображень. Коди Грея



(8)



(7)



(6)



Двійковий код    Код Грея (Шари 6, 7 та 8 зображення "папуги")



Шари, побудовані за допомогою програми Matlab, наведено на рис.

```
clear;
filename='parrot si 28'; diin=128;
fid=fopen(filename,'r');
img=fread(fid,[dim,dim]);
mask=1; */. між 1 и 8

nimg=bitget(img,mask);
imagesc(nimg), colormap(gray)
```

Двійковий код

```
clear;
filename='parrotsi28'; dim=128;
fid=fopen(filename,'r');
img=fread(fid,[dim,dim]);
mask=1; */. між 1 и 8
a=bitshift(img,-1);
b=bitxor(img,a);
nimg=bitget(b,mask);
imagesc(nimg), colormap(gray)
```

Код Грея

Вони занумеровані числами від 8 (найстарший, найбільш значний біт) до 1 (наймолодший біт). Очевидно, що шар наймолодшого біта не показує жодної кореляції між пікселями; вони випадкові або близькі до випадкових для обох уявлень, двійкового та RGC. Однак шари від 2 до 5 демонструють велику кореляцію пікселів для кодів Грея. Шари з 6 по 8 виглядають по-різному для двійкових кодів та для кодів Грея, але здаються сильно корельованими в обох випадках.

Шари, побудовані за допомогою програми Matlab, наведено на рис.

```
clear;
filename='parrot si 28'; diin=128;
fid=fopen(filename,'r');
img=fread(fid,[dim,dim]);
mask=1; */. між 1 и 8

nimg=bitget(img,mask);
imagesc(nimg), colormap(gray)
```

Двійковий код

```
clear;
filename='parrotsi28'; dim=128;
fid=fopen(filename,'r');
img=fread(fid,[dim,dim]);
mask=1; */. між 1 и 8
a=bitshift(img,-1);
b=bitxor(img,a);
nimg=bitget(b,mask);
imagesc(nimg), colormap(gray)
```

Код Грея

Вони занумеровані числами від 8 (найстарший, найбільш значний біт) до 1 (наймолодший біт). Очевидно, що шар наймолодшого біта не показує жодної кореляції між пікселями; вони випадкові або близькі до випадкових для обох уявлень, двійкового та RGC. Однак шари від 2 до 5 демонструють велику кореляцію пікселів для кодів Грея. Шари з 6 по 8 виглядають по-різному для двійкових кодів та для кодів Грея, але здаються сильно корельованими в обох випадках.

Шари, побудовані за допомогою програми Matlab, наведено на рис.

```
clear;
filename='parrot si 28'; diin=128;
fid=fopen(filename,'r');
img=fread(fid,[dim,dim]);
mask=1; */. між 1 и 8

nimg=bitget(img,mask);
imagesc(nimg), colormap(gray)
```

Двійковий код

```
clear;
filename='parrotsi28'; dim=128;
fid=fopen(filename,'r');
img=fread(fid,[dim,dim]);
mask=1; */. між 1 и 8
a=bitshift(img,-1);
b=bitxor(img,a);
nimg=bitget(b,mask);
imagesc(nimg), colormap(gray)
```

Код Грея

Вони занумеровані числами від 8 (найстарший, найбільш значний біт) до 1 (наймолодший біт). Очевидно, що шар наймолодшого біта не показує жодної кореляції між пікселями; вони випадкові або близькі до випадкових для обох уявлень, двійкового та RGC. Однак шари від 2 до 5 демонструють велику кореляцію пікселів для кодів Грея. Шари з 6 по 8 виглядають по-різному для двійкових кодів та для кодів Грея, але здаються сильно корельованими в обох випадках.

Шари, побудовані за допомогою програми Matlab, наведено на рис.

```
clear;
filename='parrot si 28'; diin=128;
fid=fopen(filename, 'r');
img=fread(fid, [dim,dim]);
mask=1; */. між 1 и 8

nimg=bitget(img,mask);
imagesc(nimg), colormap(gray)
```

Двійковий код

```
clear;
filename='parrotsi28'; dim=128;
fid=fopen(filename, 'r');
img=fread(fid, [dim,dim]);
mask=1; */. між 1 и 8
a=bitshift(img,-1);
b=bitxor(img,a);
nimg=bitget(b,mask);
imagesc(nimg), colormap(gray)
```

Код Грея

Вони занумеровані числами від 8 (найстарший, найбільш значний біт) до 1 (наймолодший біт). Очевидно, що шар наймолодшого біта не показує жодної кореляції між пікселями; вони випадкові або близькі до випадкових для обох уявлень, двійкового та RGC. Однак шари від 2 до 5 демонструють велику кореляцію пікселів для кодів Грея. Шари з 6 по 8 виглядають по-різному для двійкових кодів та для кодів Грея, але здаються сильно корельованими в обох випадках.

Шари, побудовані за допомогою програми Matlab, наведено на рис.

```
clear;
filename='parrot si 28'; diin=128;
fid=fopen(filename,'r');
img=fread(fid,[dim,dim]);
mask=1; */. між 1 и 8

nimg=bitget(img,mask);
imagesc(nimg), colormap(gray)
```

Двійковий код

```
clear;
filename='parrotsi28'; dim=128;
fid=fopen(filename,'r');
img=fread(fid,[dim,dim]);
mask=1; */. між 1 и 8
a=bitshift(img,-1);
b=bitxor(img,a);
nimg=bitget(b,mask);
imagesc(nimg), colormap(gray)
```

Код Грея

Вони занумеровані числами від 8 (найстарший, найбільш значний біт) до 1 (наймолодший біт). Очевидно, що шар наймолодшого біта не показує жодної кореляції між пікселями; вони випадкові або близькі до випадкових для обох уявлень, двійкового та RGC. Однак шари від 2 до 5 демонструють велику кореляцію пікселів для кодів Грея. Шари з 6 по 8 виглядають по-різному для двійкових кодів та для кодів Грея, але здаються сильно корельованими в обох випадках.

Шари, побудовані за допомогою програми Matlab, наведено на рис.

```
clear;
filename='parrot si 28'; diin=128;
fid=fopen(filename,'r');
img=fread(fid,[dim,dim]);
mask=1; */. між 1 и 8

nimg=bitget(img,mask);
imagesc(nimg), colormap(gray)
```

Двійковий код

```
clear;
filename='parrotsi28'; dim=128;
fid=fopen(filename,'r');
img=fread(fid,[dim,dim]);
mask=1; */. між 1 и 8
a=bitshift(img,-1);
b=bitxor(img,a);
nimg=bitget(b,mask);
imagesc(nimg), colormap(gray)
```

Код Грея

Вони занумеровані числами від 8 (найстарший, найбільш значний біт) до 1 (наймолодший біт). Очевидно, що шар наймолодшого біта не показує жодної кореляції між пікселями; вони випадкові або близькі до випадкових для обох уявлень, двійкового та RGC. Однак шари від 2 до 5 демонструють велику кореляцію пікселів для кодів Грея. Шари з 6 по 8 виглядають по-різному для двійкових кодів та для кодів Грея, але здаються сильно корельованими в обох випадках.

Шари, побудовані за допомогою програми Matlab, наведено на рис.

```
clear;
filename='parrot si 28'; diin=128;
fid=fopen(filename,'r');
img=fread(fid,[dim,dim]);
mask=1; */. між 1 и 8

nimg=bitget(img,mask);
imagesc(nimg), colormap(gray)
```

Двійковий код

```
clear;
filename='parrotsi28'; dim=128;
fid=fopen(filename,'r');
img=fread(fid,[dim,dim]);
mask=1; */. між 1 и 8
a=bitshift(img,-1);
b=bitxor(img,a);
nimg=bitget(b,mask);
imagesc(nimg), colormap(gray)
```

Код Грея

Вони занумеровані числами від 8 (найстарший, найбільш значний біт) до 1 (наймолодший біт). Очевидно, що шар наймолодшого біта не показує жодної кореляції між пікселями; вони випадкові або близькі до випадкових для обох уявлень, двійкового та RGC. Однак шари від 2 до 5 демонструють велику кореляцію пікселів для кодів Грея. Шари з 6 по 8 виглядають по-різному для двійкових кодів та для кодів Грея, але здаються сильно корельованими в обох випадках.

Шари, побудовані за допомогою програми Matlab, наведено на рис.

```
clear;
filename='parrot si 28'; diin=128;
fid=fopen(filename,'r');
img=fread(fid,[dim,dim]);
mask=1; */. між 1 и 8

nimg=bitget(img,mask);
imagesc(nimg), colormap(gray)
```

Двійковий код

```
clear;
filename='parrotsi28'; dim=128;
fid=fopen(filename,'r');
img=fread(fid,[dim,dim]);
mask=1; */. між 1 и 8
a=bitshift(img,-1);
b=bitxor(img,a);
nimg=bitget(b,mask);
imagesc(nimg), colormap(gray)
```

Код Грея

Вони занумеровані числами від 8 (найстарший, найбільш значний біт) до 1 (наймолодший біт). Очевидно, що шар наймолодшого біта не показує жодної кореляції між пікселями; вони випадкові або близькі до випадкових для обох уявлень, двійкового та RGC. Однак шари від 2 до 5 демонструють велику кореляцію пікселів для кодів Грея. Шари з 6 по 8 виглядають по-різному для двійкових кодів та для кодів Грея, але здаються сильно корельованими в обох випадках.



Шари, побудовані за допомогою програми Matlab, наведено на рис.

```
clear;
filename='parrot si 28'; diin=128;
fid=fopen(filename,'r');
img=fread(fid,[dim,dim]);
mask=1; */. між 1 и 8

nimg=bitget(img,mask);
imagesc(nimg), colormap(gray)
```

Двійковий код

```
clear;
filename='parrotsi28'; dim=128;
fid=fopen(filename,'r');
img=fread(fid,[dim,dim]);
mask=1; */. між 1 и 8
a=bitshift(img,-1);
b=bitxor(img,a);
nimg=bitget(b,mask);
imagesc(nimg), colormap(gray)
```

Код Грея

Вони занумеровані числами від 8 (найстарший, найбільш значний біт) до 1 (наймолодший біт). Очевидно, що шар наймолодшого біта не показує жодної кореляції між пікселями; вони випадкові або близькі до випадкових для обох уявлень, двійкового та RGC. Однак шари від 2 до 5 демонструють велику кореляцію пікселів для кодів Грея. Шари з 6 по 8 виглядають по-різному для двійкових кодів та для кодів Грея, але здаються сильно корельованими в обох випадках.

Шари, побудовані за допомогою програми Matlab, наведено на рис.

```
clear;
filename='parrot si 28'; diin=128;
fid=fopen(filename,'r');
img=fread(fid,[dim,dim]);
mask=1; */. між 1 и 8

nimg=bitget(img,mask);
imagesc(nimg), colormap(gray)
```

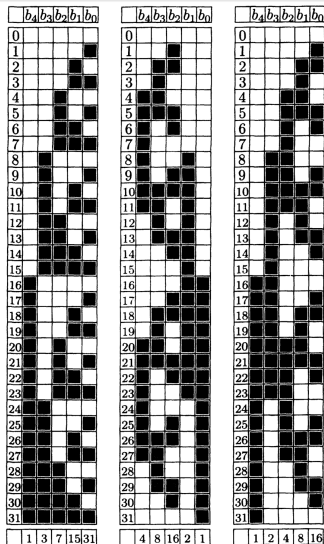
Двійковий код

```
clear;
filename='parrotsi28'; dim=128;
fid=fopen(filename,'r');
img=fread(fid,[dim,dim]);
mask=1; */. між 1 и 8
a=bitshift(img,-1);
b=bitxor(img,a);
nimg=bitget(b,mask);
imagesc(nimg), colormap(gray)
```

Код Грея

Вони занумеровані числами від 8 (найстарший, найбільш значний біт) до 1 (наймолодший біт). Очевидно, що шар наймолодшого біта не показує жодної кореляції між пікселями; вони випадкові або близькі до випадкових для обох уявлень, двійкового та RGC. Однак шари від 2 до 5 демонструють велику кореляцію пікселів для кодів Грея. Шари з 6 по 8 виглядають по-різному для двійкових кодів та для кодів Грея, але здаються сильно корельованими в обох випадках.

# Стиснення зображень. Коди Грея



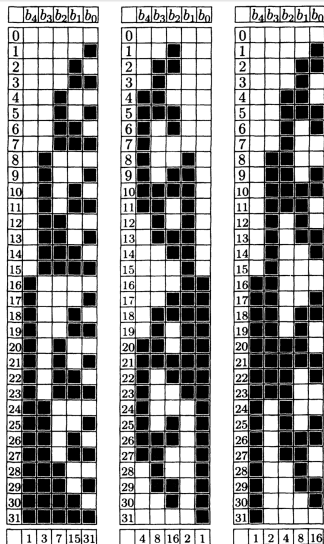
(a)

(b)

(c)

На рис. зображено дві версії перших 32 кодів Грея в їхньому графічному зображенні.

# Стиснення зображень. Коди Грея



(a)

(b)

(c)

На рис. зображено дві версії перших 32 кодів Грея в їхньому графічному зображенні.

## Стиснення зображень. Коди Грея

На рис. (b) показані коди із табл.,

<u>43210</u>	<u>Gray</u>	<u>43210</u>	<u>Gray</u>	<u>43210</u>	<u>Gray</u>
00000	00000	01000	10010	10000	00011
00001	00100	01001	10110	10001	00111
00010	01100	01010	11110	10010	01111
00011	01000	01011	11010	10011	01011
00100	11000	01100	01010	10100	11011
00101	11100	01101	01110	10101	11111
00110	10100	01110	00110	10110	10111
00111	10000	01111	00010	10111	10011

```
function b=rgc(a,i)
[r,c]=size(a);
b= [zeros(r,l),a; ones(r,l),flipud(a)];
if i>l, b=rgc(b,i-l); end;
```

## Стиснення зображень. Коди Грея

На рис. (b) показані коди із табл.,

<u>43210</u>	<u>Gray</u>	<u>43210</u>	<u>Gray</u>	<u>43210</u>	<u>Gray</u>
00000	00000	01000	10010	10000	00011
00001	00100	01001	10110	10001	00111
00010	01100	01010	11110	10010	01111
00011	01000	01011	11010	10011	01011
00100	11000	01100	01010	10100	11011
00101	11100	01101	01110	10101	11111
00110	10100	01110	00110	10110	10111
00111	10000	01111	00010	10111	10011

```
function b=rgc(a,i)
[r,c]=size(a);
b= [zeros(r,l),a; ones(r,l),flipud(a)];
if i>l, b=rgc(b,i-l); end;
```

## Стиснення зображень. Коди Грея

а на рис. (с) наведені коди з табл.

<u>43210</u>	<u>Gray</u>	<u>43210</u>	<u>Gray</u>	<u>43210</u>	<u>Gray</u>
00000	00000	<b>01000</b>	01100	<b>10000</b>	11000
00001	00001	01001	01101	10001	11001
00010	00011	<b>01010</b>	01111	<b>10010</b>	11011
00011	00010	01011	01110	10011	11010
00100	00110	<b>01100</b>	01010	<b>10100</b>	11110
00101	00111	01101	01011	10101	11111
00110	00101	<b>01110</b>	01001	<b>10110</b>	11101
00111	00100	01111	01000	10111	11100

```
a=linspace(0,31,32); b=bitshift(a,-1);  
b=bitxor(a,b); dec2bin(b)
```

а на рис. (с) наведені коди з табл.

43210	Gray	43210	Gray	43210	Gray
00000	00000	<b>01000</b>	01100	<b>10000</b>	11000
00001	00001	01001	01101	10001	11001
00010	00011	<b>01010</b>	01111	<b>10010</b>	11011
00011	00010	01011	01110	10011	11010
00100	00110	<b>01100</b>	01010	<b>10100</b>	11110
00101	00111	01101	01011	10101	11111
00110	00101	<b>01110</b>	01001	<b>10110</b>	11101
00111	00100	01111	01000	10111	11100

```
a=linspace(0,31,32); b=bitshift(a,-1);  
b=bitxor(a,b); dec2bin(b)
```



Незважаючи на те, що обидві сім'ї утворюють коди Грея, в них по-різному чергуються біти 0 і 1 у різних побитих шарах. На рис. (b) найважливіший біт змінюється 4 рази. Другий значний біт змінюється 8 разів, а біти трьох молодших розрядів змінюються, відповідно, 16, 2 і один раз. Якщо використовувати цю множину кодів Грея для розшарування зображення, то середні шари, очевидно, утворюють найменшу кореляцію між сусідніми пікселями.

На противагу цьому коди рис. (c) демонструватимуть велику кореляцію в шарах старших розрядів, оскільки там зміна між 0 і 1 відбувається, відповідно, 1, 2 і 4 рази (за старшинством розрядів). А молодші розряди покажуть слабку кореляцію пікселів, яка наближається до нуля, як і при випадковому розподілі пікселів. Для порівняння на рис. (a) зображено звичайні двійкові коди. Видно, що в цих кодах розряди змінюються суттєво частіше.

Незважаючи на те, що обидві сім'ї утворюють коди Грея, в них по-різному чергуються біти 0 і 1 у різних побитих шарах. На рис. (b) найважливіший біт змінюється 4 рази. Другий значний біт змінюється 8 разів, а біти трьох молодших розрядів змінюються, відповідно, 16, 2 і один раз. Якщо використовувати цю множину кодів Грея для розшарування зображення, то середні шари, очевидно, утворюють найменшу кореляцію між сусідніми пікселями.

На противагу цьому коди рис. (c) демонструватимуть велику кореляцію в шарах старших розрядів, оскільки там зміна між 0 і 1 відбувається, відповідно, 1, 2 і 4 рази (за старшинством розрядів). А молодші розряди покажуть слабку кореляцію пікселів, яка наближається до нуля, як і при випадковому розподілі пікселів. Для порівняння на рис. (a) зображено звичайні двійкові коди. Видно, що в цих кодах розряди змінюються суттєво частіше.

Незважаючи на те, що обидві сім'ї утворюють коди Грея, в них по-різному чергуються біти 0 і 1 у різних побитих шарах. На рис. (b) найважливіший біт змінюється 4 рази. Другий значний біт змінюється 8 разів, а біти трьох молодших розрядів змінюються, відповідно, 16, 2 і один раз. Якщо використовувати цю множину кодів Грея для розшарування зображення, то середні шари, очевидно, утворюють найменшу кореляцію між сусідніми пікселями.

На противагу цьому коди рис. (c) демонструватимуть велику кореляцію в шарах старших розрядів, оскільки там зміна між 0 і 1 відбувається, відповідно, 1, 2 і 4 рази (за старшинством розрядів). А молодші розряди покажуть слабку кореляцію пікселів, яка наближається до нуля, як і при випадковому розподілі пікселів. Для порівняння на рис. (a) зображено звичайні двійкові коди. Видно, що в цих кодах розряди змінюються суттєво частіше.

Незважаючи на те, що обидві сім'ї утворюють коди Грея, в них по-різному чергуються біти 0 і 1 у різних побитих шарах. На рис. (b) найважливіший біт змінюється 4 рази. Другий значний біт змінюється 8 разів, а біти трьох молодших розрядів змінюються, відповідно, 16, 2 і один раз. Якщо використовувати цю множину кодів Грея для розшарування зображення, то середні шари, очевидно, утворюють найменшу кореляцію між сусідніми пікселями.

На противагу цьому коди рис. (c) демонструватимуть велику кореляцію в шарах старших розрядів, оскільки там зміна між 0 і 1 відбувається, відповідно, 1, 2 і 4 рази (за старшинством розрядів). А молодші розряди покажуть слабку кореляцію пікселів, яка наближається до нуля, як і при випадковому розподілі пікселів. Для порівняння на рис. (a) зображено звичайні двійкові коди. Видно, що в цих кодах розряди змінюються суттєво частіше.

Незважаючи на те, що обидві сім'ї утворюють коди Грея, в них по-різному чергуються біти 0 і 1 у різних побитих шарах. На рис. (b) найважливіший біт змінюється 4 рази. Другий значний біт змінюється 8 разів, а біти трьох молодших розрядів змінюються, відповідно, 16, 2 і один раз. Якщо використовувати цю множину кодів Грея для розшарування зображення, то середні шари, очевидно, утворюють найменшу кореляцію між сусідніми пікселями.

На противагу цьому коди рис. (c) демонструватимуть велику кореляцію в шарах старших розрядів, оскільки там зміна між 0 і 1 відбувається, відповідно, 1, 2 і 4 рази (за старшинством розрядів). А молодші розряди покажуть слабку кореляцію пікселів, яка наближається до нуля, як і при випадковому розподілі пікселів. Для порівняння на рис. (a) зображено звичайні двійкові коди. Видно, що в цих кодах розряди змінюються суттєво частіше.

Незважаючи на те, що обидві сім'ї утворюють коди Грея, в них по-різному чергуються біти 0 і 1 у різних побитих шарах. На рис. (b) найважливіший біт змінюється 4 рази. Другий значний біт змінюється 8 разів, а біти трьох молодших розрядів змінюються, відповідно, 16, 2 і один раз. Якщо використовувати цю множину кодів Грея для розшарування зображення, то середні шари, очевидно, утворюють найменшу кореляцію між сусідніми пікселями.

На противагу цьому коди рис. (c) демонструватимуть велику кореляцію в шарах старших розрядів, оскільки там зміна між 0 і 1 відбувається, відповідно, 1, 2 і 4 рази (за старшинством розрядів). А молодші розряди покажуть слабку кореляцію пікселів, яка наближається до нуля, як і при випадковому розподілі пікселів. Для порівняння на рис. (a) зображено звичайні двійкові коди. Видно, що в цих кодах розряди змінюються суттєво частіше.

Незважаючи на те, що обидві сім'ї утворюють коди Грея, в них по-різному чергуються біти 0 і 1 у різних побитих шарах. На рис. (b) найважливіший біт змінюється 4 рази. Другий значний біт змінюється 8 разів, а біти трьох молодших розрядів змінюються, відповідно, 16, 2 і один раз. Якщо використовувати цю множину кодів Грея для розшарування зображення, то середні шари, очевидно, утворюють найменшу кореляцію між сусідніми пікселями.

На противагу цьому коди рис. (c) демонструватимуть велику кореляцію в шарах старших розрядів, оскільки там зміна між 0 і 1 відбувається, відповідно, 1, 2 і 4 рази (за старшинством розрядів). А молодші розряди покажуть слабку кореляцію пікселів, яка наближається до нуля, як і при випадковому розподілі пікселів. Для порівняння на рис. (a) зображено звичайні двійкові коди. Видно, що в цих кодах розряди змінюються суттєво частіше.

Незважаючи на те, що обидві сім'ї утворюють коди Грея, в них по-різному чергуються біти 0 і 1 у різних побитих шарах. На рис. (b) найважливіший біт змінюється 4 рази. Другий значний біт змінюється 8 разів, а біти трьох молодших розрядів змінюються, відповідно, 16, 2 і один раз. Якщо використовувати цю множину кодів Грея для розшарування зображення, то середні шари, очевидно, утворюють найменшу кореляцію між сусідніми пікселями.

На противагу цьому коди рис. (c) демонструватимуть велику кореляцію в шарах старших розрядів, оскільки там зміна між 0 і 1 відбувається, відповідно, 1, 2 і 4 рази (за старшинством розрядів). А молодші розряди покажуть слабку кореляцію пікселів, яка наближається до нуля, як і при випадковому розподілі пікселів. Для порівняння на рис. (a) зображено звичайні двійкові коди. Видно, що в цих кодах розряди змінюються суттєво частіше.



Незважаючи на те, що обидві сім'ї утворюють коди Грея, в них по-різному чергуються біти 0 і 1 у різних побитих шарах. На рис. (b) найважливіший біт змінюється 4 рази. Другий значний біт змінюється 8 разів, а біти трьох молодших розрядів змінюються, відповідно, 16, 2 і один раз. Якщо використовувати цю множину кодів Грея для розшарування зображення, то середні шари, очевидно, утворюють найменшу кореляцію між сусідніми пікселями.

На противагу цьому коди рис. (c) демонструватимуть велику кореляцію в шарах старших розрядів, оскільки там зміна між 0 і 1 відбувається, відповідно, 1, 2 і 4 рази (за старшинством розрядів). А молодші розряди покажуть слабку кореляцію пікселів, яка наближається до нуля, як і при випадковому розподілі пікселів. Для порівняння на рис. (a) зображено звичайні двійкові коди. Видно, що в цих кодах розряди змінюються суттєво частіше.

Незважаючи на те, що обидві сім'ї утворюють коди Грея, в них по-різному чергуються біти 0 і 1 у різних побитих шарах. На рис. (b) найважливіший біт змінюється 4 рази. Другий значний біт змінюється 8 разів, а біти трьох молодших розрядів змінюються, відповідно, 16, 2 і один раз. Якщо використовувати цю множину кодів Грея для розшарування зображення, то середні шари, очевидно, утворюють найменшу кореляцію між сусідніми пікселями.

На противагу цьому коди рис. (c) демонструватимуть велику кореляцію в шарах старших розрядів, оскільки там зміна між 0 і 1 відбувається, відповідно, 1, 2 і 4 рази (за старшинством розрядів). А молодші розряди покажуть слабку кореляцію пікселів, яка наближається до нуля, як і при випадковому розподілі пікселів. Для порівняння на рис. (a) зображено звичайні двійкові коди. Видно, що в цих кодах розряди змінюються суттєво частіше.

Незважаючи на те, що обидві сім'ї утворюють коди Грея, в них по-різному чергуються біти 0 і 1 у різних побитих шарах. На рис. (b) найважливіший біт змінюється 4 рази. Другий значний біт змінюється 8 разів, а біти трьох молодших розрядів змінюються, відповідно, 16, 2 і один раз. Якщо використовувати цю множину кодів Грея для розшарування зображення, то середні шари, очевидно, утворюють найменшу кореляцію між сусідніми пікселями.

На противагу цьому коди рис. (c) демонструватимуть велику кореляцію в шарах старших розрядів, оскільки там зміна між 0 і 1 відбувається, відповідно, 1, 2 і 4 рази (за старшинством розрядів). А молодші розряди покажуть слабку кореляцію пікселів, яка наближається до нуля, як і при випадковому розподілі пікселів. Для порівняння на рис. (a) зображено звичайні двійкові коди. Видно, що в цих кодах розряди змінюються суттєво частіше.

Незважаючи на те, що обидві сім'ї утворюють коди Грея, в них по-різному чергуються біти 0 і 1 у різних побитих шарах. На рис. (b) найважливіший біт змінюється 4 рази. Другий значний біт змінюється 8 разів, а біти трьох молодших розрядів змінюються, відповідно, 16, 2 і один раз. Якщо використовувати цю множину кодів Грея для розшарування зображення, то середні шари, очевидно, утворюють найменшу кореляцію між сусідніми пікселями.

На противагу цьому коди рис. (c) демонструватимуть велику кореляцію в шарах старших розрядів, оскільки там зміна між 0 і 1 відбувається, відповідно, 1, 2 і 4 рази (за старшинством розрядів). А молодші розряди покажуть слабку кореляцію пікселів, яка наближається до нуля, як і при випадковому розподілі пікселів. Для порівняння на рис. (a) зображено звичайні двійкові коди. Видно, що в цих кодах розряди змінюються суттєво частіше.

Незважаючи на те, що обидві сім'ї утворюють коди Грея, в них по-різному чергуються біти 0 і 1 у різних побитих шарах. На рис. (b) найважливіший біт змінюється 4 рази. Другий значний біт змінюється 8 разів, а біти трьох молодших розрядів змінюються, відповідно, 16, 2 і один раз. Якщо використовувати цю множину кодів Грея для розшарування зображення, то середні шари, очевидно, утворюють найменшу кореляцію між сусідніми пікселями.

На противагу цьому коди рис. (c) демонструватимуть велику кореляцію в шарах старших розрядів, оскільки там зміна між 0 і 1 відбувається, відповідно, 1, 2 і 4 рази (за старшинством розрядів). А молодші розряди покажуть слабку кореляцію пікселів, яка наближається до нуля, як і при випадковому розподілі пікселів. Для порівняння на рис. (a) зображено звичайні двійкові коди. Видно, що в цих кодах розряди змінюються суттєво частіше.

Незважаючи на те, що обидві сім'ї утворюють коди Грея, в них по-різному чергуються біти 0 і 1 у різних побитих шарах. На рис. (b) найважливіший біт змінюється 4 рази. Другий значний біт змінюється 8 разів, а біти трьох молодших розрядів змінюються, відповідно, 16, 2 і один раз. Якщо використовувати цю множину кодів Грея для розшарування зображення, то середні шари, очевидно, утворюють найменшу кореляцію між сусідніми пікселями.

На противагу цьому коди рис. (c) демонструватимуть велику кореляцію в шарах старших розрядів, оскільки там зміна між 0 і 1 відбувається, відповідно, 1, 2 і 4 рази (за старшинством розрядів). А молодші розряди покажуть слабку кореляцію пікселів, яка наближається до нуля, як і при випадковому розподілі пікселів. Для порівняння на рис. (a) зображено звичайні двійкові коди. Видно, що в цих кодах розряди змінюються суттєво частіше.

# Стиснення зображень. Коди Грея

	$b_4$	$b_3$	$b_2$	$b_1$	$b_0$
0					
1					■
2			■		
3			■	■	
4		■			
5		■	■		■
6		■	■	■	
7		■	■	■	
8	■				
9	■				■
10	■	■		■	
11	■	■		■	■
12	■	■			
13	■	■	■		
14	■	■	■	■	
15	■	■	■	■	■
16	■				
17					■
18				■	
19				■	■
20		■			
21		■			■
22		■	■		
23		■	■	■	
24		■			
25		■			■
26		■		■	
27		■	■	■	
28		■	■		
29		■	■		■
30		■	■	■	
31		■	■	■	■
	1	3	7	15	31

(a)

	$b_4$	$b_3$	$b_2$	$b_1$	$b_0$
0					
1			■		
2		■	■		
3		■			
4		■	■		
5		■	■		
6		■		■	
7		■			
8	■				■
9	■			■	
10	■	■	■	■	
11	■	■	■	■	
12	■	■	■	■	
13	■			■	
14	■		■	■	
15	■			■	
16	■			■	■
17	■			■	■
18	■	■	■	■	■
19	■	■	■	■	■
20	■	■	■	■	■
21	■	■	■	■	■
22	■			■	■
23	■			■	■
24	■			■	
25	■		■	■	■
26	■		■	■	■
27	■	■	■	■	■
28	■	■	■	■	■
29	■	■	■	■	■
30	■			■	■
31	■			■	■
	4	8	16	2	1

(b)

	$b_4$	$b_3$	$b_2$	$b_1$	$b_0$
0					
1					■
2			■		■
3			■	■	■
4		■			
5		■	■		■
6		■	■	■	■
7		■	■	■	
8	■				■
9	■				■
10	■	■	■	■	■
11	■	■	■	■	■
12	■	■	■	■	■
13	■			■	
14	■		■	■	
15	■			■	
16	■	■	■	■	■
17	■	■	■	■	■
18	■	■	■	■	■
19	■	■	■	■	■
20	■	■	■	■	■
21	■	■	■	■	■
22	■			■	■
23	■			■	■
24	■			■	
25	■		■	■	■
26	■		■	■	■
27	■	■	■	■	■
28	■	■	■	■	■
29	■	■	■	■	■
30	■			■	■
31	■			■	■
	1	2	4	8	16

(c)

Навіть поверховий погляд на коди Грея рис. (с) виявляє в них певну регулярність. Більш детальне дослідження виявляє дві важливі особливості цих кодів, які можна використовувати при їхній побудові. Перша особливість полягає у періодичній зміні значень усіх п'яти розрядів. Легко написати програму, яка спочатку встановить усі п'ять розрядів в 0, а потім мінятиме найправіший розряд у кожного другого коду, а решта чотирьох розрядів мінятиме в середині періоду свого правого сусіднього розряду.

Інша особливість кодів Грея полягає в тому, що друга половина таблиці є дзеркальним відображенням першої половини, якщо значний біт встановити в 1. Якщо перша половина таблиці вже обчислена, то друга легко виходить за допомогою цієї властивості.



Навіть поверховий погляд на коди Грея рис. (с) виявляє в них певну регулярність. Більш детальне дослідження виявляє дві важливі особливості цих кодів, які можна використовувати при їхній побудові. Перша особливість полягає у періодичній зміні значень усіх п'яти розрядів. Легко написати програму, яка спочатку встановить усі п'ять розрядів в 0, а потім мінятиме найправіший розряд у кожного другого коду, а решта чотирьох розрядів мінятиме в середині періоду свого правого сусіднього розряду.

Інша особливість кодів Грея полягає в тому, що друга половина таблиці є дзеркальним відображенням першої половини, якщо значний біт встановити в 1. Якщо перша половина таблиці вже обчислена, то друга легко виходить за допомогою цієї властивості.

Навіть поверховий погляд на коди Грея рис. (с) виявляє в них певну регулярність. Більш детальне дослідження виявляє дві важливі особливості цих кодів, які можна використовувати при їхній побудові. Перша особливість полягає у періодичній зміні значень усіх п'яти розрядів. Легко написати програму, яка спочатку встановить усі п'ять розрядів в 0, а потім мінятиме найправіший розряд у кожного другого коду, а решта чотирьох розрядів мінятиме в середині періоду свого правого сусіднього розряду.

Інша особливість кодів Грея полягає в тому, що друга половина таблиці є дзеркальним відображенням першої половини, якщо значний біт встановити в 1. Якщо перша половина таблиці вже обчислена, то друга легко виходить за допомогою цієї властивості.

Навіть поверховий погляд на коди Грея рис. (с) виявляє в них певну регулярність. Більш детальне дослідження виявляє дві важливі особливості цих кодів, які можна використовувати при їхній побудові. Перша особливість полягає у періодичній зміні значень усіх п'яти розрядів. Легко написати програму, яка спочатку встановить усі п'ять розрядів в 0, а потім мінятиме найправіший розряд у кожного другого коду, а решта чотирьох розрядів мінятиме в середині періоду свого правого сусіднього розряду.

Інша особливість кодів Грея полягає в тому, що друга половина таблиці є дзеркальним відображенням першої половини, якщо значний біт встановити в 1. Якщо перша половина таблиці вже обчислена, то друга легко виходить за допомогою цієї властивості.

Навіть поверховий погляд на коди Грея рис. (с) виявляє в них певну регулярність. Більш детальне дослідження виявляє дві важливі особливості цих кодів, які можна використовувати при їхній побудові. Перша особливість полягає у періодичній зміні значень усіх п'яти розрядів.

Легко написати програму, яка спочатку встановить усі п'ять розрядів в 0, а потім мінятиме найправіший розряд у кожного другого коду, а решта чотирьох розрядів мінятиме в середині періоду свого правого сусіднього розряду.

Інша особливість кодів Грея полягає в тому, що друга половина таблиці є дзеркальним відображенням першої половини, якщо значний біт встановити в 1. Якщо перша половина таблиці вже обчислена, то друга легко виходить за допомогою цієї властивості.

Навіть поверховий погляд на коди Грея рис. (с) виявляє в них певну регулярність. Більш детальне дослідження виявляє дві важливі особливості цих кодів, які можна використовувати при їхній побудові. Перша особливість полягає у періодичній зміні значень усіх п'яти розрядів. Легко написати програму, яка спочатку встановить усі п'ять розрядів в 0, а потім мінятиме найправіший розряд у кожного другого коду, а решта чотирьох розрядів мінятиме в середині періоду свого правого сусіднього розряду.

Інша особливість кодів Грея полягає в тому, що друга половина таблиці є дзеркальним відображенням першої половини, якщо значний біт встановити в 1. Якщо перша половина таблиці вже обчислена, то друга легко виходить за допомогою цієї властивості.

Навіть поверховий погляд на коди Грея рис. (с) виявляє в них певну регулярність. Більш детальне дослідження виявляє дві важливі особливості цих кодів, які можна використовувати при їхній побудові. Перша особливість полягає у періодичній зміні значень усіх п'яти розрядів. Легко написати програму, яка спочатку встановить усі п'ять розрядів в 0, а потім мінятиме найправіший розряд у кожного другого коду, а решта чотирьох розрядів мінятиме в середині періоду свого правого сусіднього розряду.

Інша особливість кодів Грея полягає в тому, що друга половина таблиці є дзеркальним відображенням першої половини, якщо значний біт встановити в 1. Якщо перша половина таблиці вже обчислена, то друга легко виходить за допомогою цієї властивості.

Навіть поверховий погляд на коди Грея рис. (с) виявляє в них певну регулярність. Більш детальне дослідження виявляє дві важливі особливості цих кодів, які можна використовувати при їхній побудові. Перша особливість полягає у періодичній зміні значень усіх п'яти розрядів. Легко написати програму, яка спочатку встановить усі п'ять розрядів в 0, а потім мінятиме найправіший розряд у кожного другого коду, а решта чотирьох розрядів мінятиме в середині періоду свого правого сусіднього розряду.

Інша особливість кодів Грея полягає в тому, що друга половина таблиці є дзеркальним відображенням першої половини, якщо значний біт встановити в 1. Якщо перша половина таблиці вже обчислена, то друга легко виходить за допомогою цієї властивості.

Навіть поверховий погляд на коди Грея рис. (с) виявляє в них певну регулярність. Більш детальне дослідження виявляє дві важливі особливості цих кодів, які можна використовувати при їхній побудові. Перша особливість полягає у періодичній зміні значень усіх п'яти розрядів. Легко написати програму, яка спочатку встановить усі п'ять розрядів в 0, а потім мінятиме найправіший розряд у кожного другого коду, а решта чотирьох розрядів мінятиме в середині періоду свого правого сусіднього розряду.

Інша особливість кодів Грея полягає в тому, що друга половина таблиці є дзеркальним відображенням першої половини, якщо значний біт встановити в 1. Якщо перша половина таблиці вже обчислена, то друга легко виходить за допомогою цієї властивості.



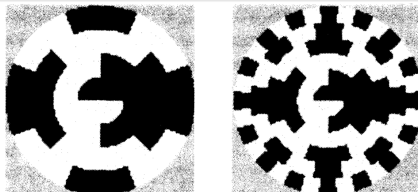
Навіть поверховий погляд на коди Грея рис. (с) виявляє в них певну регулярність. Більш детальне дослідження виявляє дві важливі особливості цих кодів, які можна використовувати при їхній побудові. Перша особливість полягає у періодичній зміні значень усіх п'яти розрядів. Легко написати програму, яка спочатку встановить усі п'ять розрядів в 0, а потім мінятиме найправіший розряд у кожного другого коду, а решта чотирьох розрядів мінятиме в середині періоду свого правого сусіднього розряду.

Інша особливість кодів Грея полягає в тому, що друга половина таблиці є дзеркальним відображенням першої половини, якщо значний біт встановити в 1. Якщо перша половина таблиці вже обчислена, то друга легко виходить за допомогою цієї властивості.

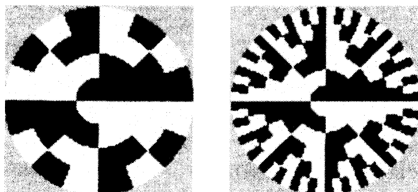
Навіть поверховий погляд на коди Грея рис. (с) виявляє в них певну регулярність. Більш детальне дослідження виявляє дві важливі особливості цих кодів, які можна використовувати при їхній побудові. Перша особливість полягає у періодичній зміні значень усіх п'яти розрядів. Легко написати програму, яка спочатку встановить усі п'ять розрядів в 0, а потім мінятиме найправіший розряд у кожного другого коду, а решта чотирьох розрядів мінятиме в середині періоду свого правого сусіднього розряду.

Інша особливість кодів Грея полягає в тому, що друга половина таблиці є дзеркальним відображенням першої половини, якщо значний біт встановити в 1. Якщо перша половина таблиці вже обчислена, то друга легко виходить за допомогою цієї властивості.

## Стиснення зображень. Коди Грея



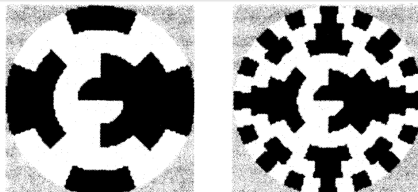
(a)



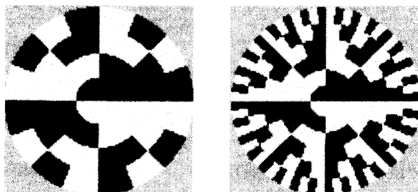
(b)

На рис. зображено кругові діаграми, що зображають 4-х та 6-ти бітні коди RGC (a), та звичайні двійкові коди (b). Шари розрядів показані як кілець, причому шар найзначнішого біта перебуває всередині. Видно, що максимальна кутова частота коду RGC вдвічі менша, ніж у двійкового коду. Таке циклічне подання кодів Грея не порушує їхню структуру, оскільки перший і останній код також відрізняються рівно в одному біті.

## Стиснення зображень. Коди Грея



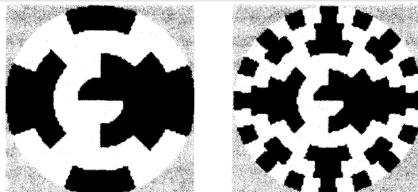
(a)



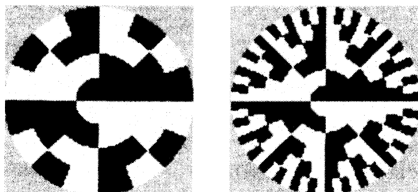
(b)

На рис. зображено кругові діаграми, що зображають 4-х та 6-ти бітні коди RGC (a), та звичайні двійкові коди (b). Шари розрядів показані як кілець, причому шар найзначнішого біта перебуває всередині. Видно, що максимальна кутова частота коду RGC вдвічі менша, ніж у двійкового коду. Таке циклічне подання кодів Грея не порушує їхню структуру, оскільки перший і останній код також відрізняються рівно в одному біті.

## Стиснення зображень. Коди Грея



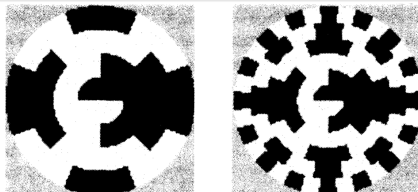
(a)



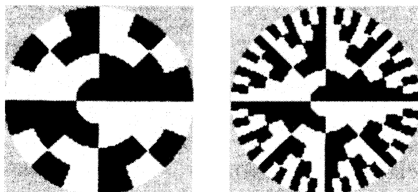
(b)

На рис. зображено кругові діаграми, що зображують 4-х та 6-ти бітні коди RGC (a), та звичайні двійкові коди (b). Шари розрядів показані як кілець, причому шар найзначнішого біта перебуває всередині. Видно, що максимальна кутова частота коду RGC вдвічі менша, ніж у двійкового коду. Таке циклічне подання кодів Грея не порушує їхню структуру, оскільки перший і останній код також відрізняються рівно в одному біті.

## Стиснення зображень. Коди Грея



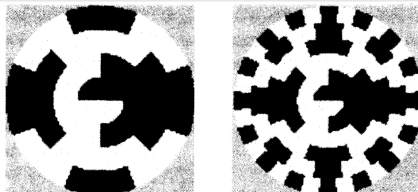
(a)



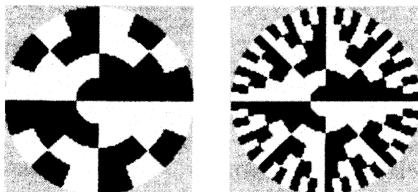
(b)

На рис. зображено кругові діаграми, що зображують 4-х та 6-ти бітні коди RGC (a), та звичайні двійкові коди (b). Шари розрядів показані як кілець, причому шар найзначнішого біта перебуває всередині. Видно, що максимальна кутова частота коду RGC вдвічі менша, ніж у двійкового коду. Таке циклічне подання кодів Грея не порушує їхню структуру, оскільки перший і останній код також відрізняються рівно в одному біті.

## Стиснення зображень. Коди Грея



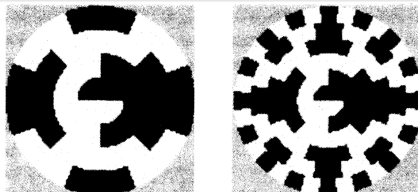
(a)



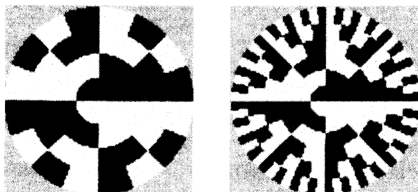
(b)

На рис. зображено кругові діаграми, що зображують 4-х та 6-ти бітні коди RGC (a), та звичайні двійкові коди (b). Шари розрядів показані як кілець, причому шар найзначнішого біта перебуває всередині. Видно, що максимальна кутова частота коду RGC вдвічі менша, ніж у двійкового коду. Таке циклічне подання кодів Грея не порушує їхню структуру, оскільки перший і останній код також відрізняються рівно в одному біті.

## Стиснення зображень. Коди Грея



(a)

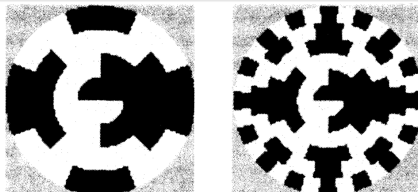


(b)

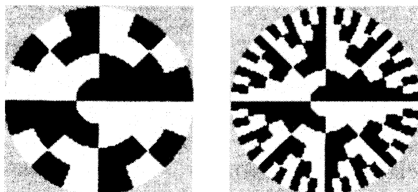
На рис. зображено кругові діаграми, що зображують 4-х та 6-ти бітні коди RGC (a), та звичайні двійкові коди (b). Шари розрядів показані як кілець, причому шар найзначнішого біта перебуває всередині. Видно, що максимальна кутова частота коду RGC вдвічі менша, ніж у двійкового коду. Таке циклічне подання кодів Грея не порушує їхню структуру, оскільки перший і останній код також відрізняються рівно в одному біті.



## Стиснення зображень. Коди Грея



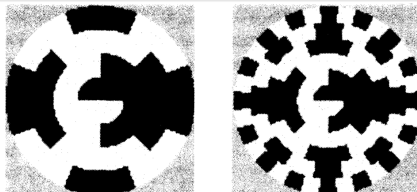
(a)



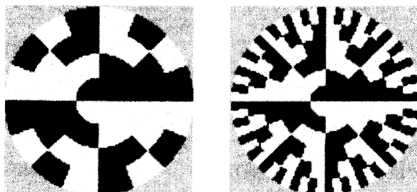
(b)

На рис. зображено кругові діаграми, що зображують 4-х та 6-ти бітні коди RGC (a), та звичайні двійкові коди (b). Шари розрядів показані як кілець, причому шар найзначнішого біта перебуває всередині. Видно, що максимальна кутова частота коду RGC вдвічі менша, ніж у двійкового коду. Таке циклічне подання кодів Грея не порушує їхню структуру, оскільки перший і останній код також відрізняються рівно в одному біті.

## Стиснення зображень. Коди Грея



(a)



(b)

На рис. зображено кругові діаграми, що зображують 4-х та 6-ти бітні коди RGC (a), та звичайні двійкові коди (b). Шари розрядів показані як кілець, причому шар найзначнішого біта перебуває всередині. Видно, що максимальна кутова частота коду RGC вдвічі менша, ніж у двійкового коду. Таке циклічне подання кодів Грея не порушує їхню структуру, оскільки перший і останній код також відрізняються рівно в одному біті.

До кольорових зображень можна застосовувати методи компресії, розроблені для інших типів зображень. Будь-який метод стиснення напівтонових образів дозволяє стискати кольорові зображення. У кольоровому зображенні кожен піксель складається з трьох кольорових компонентів (наприклад, RGB). Уявімо кольорове зображення, в якому всі компоненти складаються з одного байта. Піксель описується трьома байтами чи 24 бітами, але ці біти не можна розглядати як одне число. Три пікселі

118|206|12      та      117|206|12

розрізняються тільки на одиницю в першій компоненті, а тому вони мають близькі кольори. Якщо ж їх розглядати у вигляді 24-бітних чисел, то вони сильно відрізняться, оскільки вони відрізняються у старшому біті. Будь-який метод компресії, який ґрунтуватиметься на такому розрізненні пікселів, буде дуже неоптимальним. У цьому сенсі найбільш підходящим є метод поділу зображення на кольорові компоненти з їхнім подальшим незалежним стиском методом напівтонової компресії.

Метод зважених контекстних дерев зображень є прикладом використання кодів RGC для стиснення образів.

До кольорових зображень можна застосовувати методи компресії, розроблені для інших типів зображень. Будь-який метод стиснення напівтонових образів дозволяє стискати кольорові зображення. У кольоровому зображенні кожен піксель складається з трьох кольорових компонентів (наприклад, RGB). Уявімо кольорове зображення, в якому всі компоненти складаються з одного байта. Піксель описується трьома байтами чи 24 бітами, але ці біти не можна розглядати як одне число. Три пікселі

118|206|12      та      117|206|12

розрізняються тільки на одиницю в першій компоненті, а тому вони мають близькі кольори. Якщо ж їх розглядати у вигляді 24-бітних чисел, то вони сильно відрізняться, оскільки вони відрізняються у старшому біті. Будь-який метод компресії, який ґрунтуватиметься на такому розрізненні пікселів, буде дуже неоптимальним. У цьому сенсі найбільш підходящим є метод поділу зображення на кольорові компоненти з їхнім подальшим незалежним стиском методом напівтонової компресії.

Метод зважених контекстних дерев зображень є прикладом використання кодів RGC для стиснення образів.

До кольорових зображень можна застосовувати методи компресії, розроблені для інших типів зображень. Будь-який метод стиснення напівтонових образів дозволяє стискати кольорові зображення. У кольоровому зображенні кожен піксель складається з трьох кольорових компонентів (наприклад, RGB). Уявімо кольорове зображення, в якому всі компоненти складаються з одного байта. Піксель описується трьома байтами чи 24 бітами, але ці біти не можна розглядати як одне число. Три пікселі

118|206|12      та      117|206|12

розрізняються тільки на одиницю в першій компоненті, а тому вони мають близькі кольори. Якщо ж їх розглядати у вигляді 24-бітних чисел, то вони сильно відрізнятимуться, оскільки вони відрізняються у старшому біті. Будь-який метод компресії, який ґрунтуватиметься на такому розрізненні пікселів, буде дуже неоптимальним. У цьому сенсі найбільш підходящим є метод поділу зображення на кольорові компоненти з їхнім подальшим незалежним стиском методом напівтонової компресії.

Метод зважених контекстних дерев зображень є прикладом використання кодів RGC для стиснення образів.

До кольорових зображень можна застосовувати методи компресії, розроблені для інших типів зображень. Будь-який метод стиснення напівтонових образів дозволяє стискати кольорові зображення. У кольоровому зображенні кожен піксель складається з трьох кольорових компонентів (наприклад, RGB). Уявімо кольорове зображення, в якому всі компоненти складаються з одного байта. Піксель описується трьома байтами чи 24 бітами, але ці біти не можна розглядати як одне число. Три пікселі

118|206|12      та      117|206|12

розрізняються тільки на одиницю в першій компоненті, а тому вони мають близькі кольори. Якщо ж їх розглядати у вигляді 24-бітних чисел, то вони сильно відрізняться, оскільки вони відрізняються у старшому біті. Будь-який метод компресії, який ґрунтуватиметься на такому розрізненні пікселів, буде дуже неоптимальним. У цьому сенсі найбільш підходящим є метод поділу зображення на кольорові компоненти з їхнім подальшим незалежним стиском методом напівтонової компресії.

Метод зважених контекстних дерев зображень є прикладом використання кодів RGC для стиснення образів.

До кольорових зображень можна застосовувати методи компресії, розроблені для інших типів зображень. Будь-який метод стиснення напівтонових образів дозволяє стискати кольорові зображення. У кольоровому зображенні кожен піксель складається з трьох кольорових компонентів (наприклад, RGB). Уявімо кольорове зображення, в якому всі компоненти складаються з одного байта. Піксель описується трьома байтами чи 24 бітами, але ці біти не можна розглядати як одне число. Три пікселі

118|206|12      та      117|206|12

розрізняються тільки на одиницю в першій компоненті, а тому вони мають близькі кольори. Якщо ж їх розглядати у вигляді 24-бітних чисел, то вони сильно відрізняться, оскільки вони відрізняються у старшому біті. Будь-який метод компресії, який ґрунтуватиметься на такому розрізненні пікселів, буде дуже неоптимальним. У цьому сенсі найбільш підходящим є метод поділу зображення на кольорові компоненти з їхнім подальшим незалежним стиском методом напівтонової компресії.

Метод зважених контекстних дерев зображень є прикладом використання кодів RGC для стиснення образів.

До кольорових зображень можна застосовувати методи компресії, розроблені для інших типів зображень. Будь-який метод стиснення напівтонових образів дозволяє стискати кольорові зображення. У кольоровому зображенні кожен піксель складається з трьох кольорових компонентів (наприклад, RGB). Уявімо кольорове зображення, в якому всі компоненти складаються з одного байта. Піксель описується трьома байтами чи 24 бітами, але ці біти не можна розглядати як одне число.

Три пікселі

118|206|12      та      117|206|12

розрізняються тільки на одиницю в першій компоненті, а тому вони мають близькі кольори. Якщо ж їх розглядати у вигляді 24-бітних чисел, то вони сильно відрізнятимуться, оскільки вони відрізняються у старшому біті. Будь-який метод компресії, який ґрунтуватиметься на такому розрізненні пікселів, буде дуже неоптимальним. У цьому сенсі найбільш підходящим є метод поділу зображення на кольорові компоненти з їхнім подальшим незалежним стиском методом напівтонової компресії.

Метод зважених контекстних дерев зображень є прикладом використання кодів RGC для стиснення образів.



До кольорових зображень можна застосовувати методи компресії, розроблені для інших типів зображень. Будь-який метод стиснення напівтонових образів дозволяє стискати кольорові зображення. У кольоровому зображенні кожен піксель складається з трьох кольорових компонентів (наприклад, RGB). Уявімо кольорове зображення, в якому всі компоненти складаються з одного байта. Піксель описується трьома байтами чи 24 бітами, але ці біти не можна розглядати як одне число.

Три пікселі

118|206|12      та      117|206|12

розрізняються тільки на одиницю в першій компоненті, а тому вони мають близькі кольори. Якщо ж їх розглядати у вигляді 24-бітних чисел, то вони сильно відрізняться, оскільки вони відрізняються у старшому біті. Будь-який метод компресії, який ґрунтуватиметься на такому розрізненні пікселів, буде дуже неоптимальним. У цьому сенсі найбільш підходящим є метод поділу зображення на кольорові компоненти з їхнім подальшим незалежним стиском методом напівтонової компресії.

Метод зважених контекстних дерев зображень є прикладом використання кодів RGC для стиснення образів.

До кольорових зображень можна застосовувати методи компресії, розроблені для інших типів зображень. Будь-який метод стиснення напівтонових образів дозволяє стискати кольорові зображення. У кольоровому зображенні кожен піксель складається з трьох кольорових компонентів (наприклад, RGB). Уявімо кольорове зображення, в якому всі компоненти складаються з одного байта. Піксель описується трьома байтами чи 24 бітами, але ці біти не можна розглядати як одне число. Три пікселі

118|206|12      та      117|206|12

розрізняються тільки на одиницю в першій компоненті, а тому вони мають близькі кольори. Якщо ж їх розглядати у вигляді 24-бітних чисел, то вони сильно відрізнятимуться, оскільки вони відрізняються у старшому біті. Будь-який метод компресії, який ґрунтуватиметься на такому розрізненні пікселів, буде дуже неоптимальним. У цьому сенсі найбільш підходящим є метод поділу зображення на кольорові компоненти з їхнім подальшим незалежним стиском методом напівтонової компресії.

Метод зважених контекстних дерев зображень є прикладом використання кодів RGC для стиснення образів.

До кольорових зображень можна застосовувати методи компресії, розроблені для інших типів зображень. Будь-який метод стиснення напівтонових образів дозволяє стискати кольорові зображення. У кольоровому зображенні кожен піксель складається з трьох кольорових компонентів (наприклад, RGB). Уявімо кольорове зображення, в якому всі компоненти складаються з одного байта. Піксель описується трьома байтами чи 24 бітами, але ці біти не можна розглядати як одне число. Три пікселі

118|206|12      та      117|206|12

розрізняються тільки на одиницю в першій компоненті, а тому вони мають близькі кольори. Якщо ж їх розглядати у вигляді 24-бітних чисел, то вони сильно відрізнятимуться, оскільки вони відрізняються у старшому біті. Будь-який метод компресії, який ґрунтуватиметься на такому розрізненні пікселів, буде дуже неоптимальним. У цьому сенсі найбільш підходящим є метод поділу зображення на кольорові компоненти з їхнім подальшим незалежним стиском методом напівтонової компресії.

Метод зважених контекстних дерев зображень є прикладом використання кодів RGC для стиснення образів.

До кольорових зображень можна застосовувати методи компресії, розроблені для інших типів зображень. Будь-який метод стиснення напівтонових образів дозволяє стискати кольорові зображення. У кольоровому зображенні кожен піксель складається з трьох кольорових компонентів (наприклад, RGB). Уявімо кольорове зображення, в якому всі компоненти складаються з одного байта. Піксель описується трьома байтами чи 24 бітами, але ці біти не можна розглядати як одне число. Три пікселі

118|206|12      та      117|206|12

розрізняються тільки на одиницю в першій компоненті, а тому вони мають близькі кольори. Якщо ж їх розглядати у вигляді 24-бітних чисел, то вони сильно відрізнятимуться, оскільки вони відрізняються у старшому біті. Будь-який метод компресії, який ґрунтуватиметься на такому розрізненні пікселів, буде дуже неоптимальним. У цьому сенсі найбільш підходящим є метод поділу зображення на кольорові компоненти з їхнім подальшим незалежним стиском методом напівтонової компресії.

Метод зважених контекстних дерев зображень є прикладом використання кодів RGC для стиснення образів.

До кольорових зображень можна застосовувати методи компресії, розроблені для інших типів зображень. Будь-який метод стиснення напівтонових образів дозволяє стискати кольорові зображення. У кольоровому зображенні кожен піксель складається з трьох кольорових компонентів (наприклад, RGB). Уявімо кольорове зображення, в якому всі компоненти складаються з одного байта. Піксель описується трьома байтами чи 24 бітами, але ці біти не можна розглядати як одне число. Три пікселі

118|206|12      та      117|206|12

розрізняються тільки на одиницю в першій компоненті, а тому вони мають близькі кольори. Якщо ж їх розглядати у вигляді 24-бітних чисел, то вони сильно відрізняться, оскільки вони відрізняються у старшому біті. Будь-який метод компресії, який ґрунтуватиметься на такому розрізненні пікселів, буде дуже неоптимальним. У цьому сенсі найбільш підходящим є метод поділу зображення на кольорові компоненти з їхнім подальшим незалежним стиском методом напівтонової компресії.

Метод зважених контекстних дерев зображень є прикладом використання кодів RGC для стиснення образів.

До кольорових зображень можна застосовувати методи компресії, розроблені для інших типів зображень. Будь-який метод стиснення напівтонових образів дозволяє стискати кольорові зображення. У кольоровому зображенні кожен піксель складається з трьох кольорових компонентів (наприклад, RGB). Уявімо кольорове зображення, в якому всі компоненти складаються з одного байта. Піксель описується трьома байтами чи 24 бітами, але ці біти не можна розглядати як одне число. Три пікселі

118|206|12      та      117|206|12

розрізняються тільки на одиницю в першій компоненті, а тому вони мають близькі кольори. Якщо ж їх розглядати у вигляді 24-бітних чисел, то вони сильно відрізнятимуться, оскільки вони відрізняються у старшому біті. Будь-який метод компресії, який ґрунтуватиметься на такому розрізненні пікселів, буде дуже неоптимальним. У цьому сенсі найбільш підходящим є метод поділу зображення на кольорові компоненти з їхнім подальшим незалежним стиском методом напівтонової компресії.

Метод зважених контекстних дерев зображень є прикладом використання кодів RGC для стиснення образів.

До кольорових зображень можна застосовувати методи компресії, розроблені для інших типів зображень. Будь-який метод стиснення напівтонових образів дозволяє стискати кольорові зображення. У кольоровому зображенні кожен піксель складається з трьох кольорових компонентів (наприклад, RGB). Уявімо кольорове зображення, в якому всі компоненти складаються з одного байта. Піксель описується трьома байтами чи 24 бітами, але ці біти не можна розглядати як одне число. Три пікселі

118|206|12      та      117|206|12

розрізняються тільки на одиницю в першій компоненті, а тому вони мають близькі кольори. Якщо ж їх розглядати у вигляді 24-бітних чисел, то вони сильно відрізнятимуться, оскільки вони відрізняються у старшому біті. Будь-який метод компресії, який ґрунтуватиметься на такому розрізненні пікселів, буде дуже неоптимальним. У цьому сенсі найбільш підходящим є метод поділу зображення на кольорові компоненти з їхнім подальшим незалежним стиском методом напівтонової компресії.

Метод зважених контекстних дерев зображень є прикладом використання кодів RGC для стиснення образів.

До кольорових зображень можна застосовувати методи компресії, розроблені для інших типів зображень. Будь-який метод стиснення напівтонових образів дозволяє стискати кольорові зображення. У кольоровому зображенні кожен піксель складається з трьох кольорових компонентів (наприклад, RGB). Уявімо кольорове зображення, в якому всі компоненти складаються з одного байта. Піксель описується трьома байтами чи 24 бітами, але ці біти не можна розглядати як одне число. Три пікселі

118|206|12      та      117|206|12

розрізняються тільки на одиницю в першій компоненті, а тому вони мають близькі кольори. Якщо ж їх розглядати у вигляді 24-бітних чисел, то вони сильно відрізняться, оскільки вони відрізняються у старшому біті. Будь-який метод компресії, який ґрунтуватиметься на такому розрізненні пікселів, буде дуже неоптимальним. У цьому сенсі найбільш підходящим є метод поділу зображення на кольорові компоненти з їхнім подальшим незалежним стиском методом напівтонової компресії.

Метод зважених контекстних дерев зображень є прикладом використання кодів RGC для стиснення образів.



До кольорових зображень можна застосовувати методи компресії, розроблені для інших типів зображень. Будь-який метод стиснення напівтонових образів дозволяє стискати кольорові зображення. У кольоровому зображенні кожен піксель складається з трьох кольорових компонентів (наприклад, RGB). Уявімо кольорове зображення, в якому всі компоненти складаються з одного байта. Піксель описується трьома байтами чи 24 бітами, але ці біти не можна розглядати як одне число. Три пікселі

118|206|12      та      117|206|12

розрізняються тільки на одиницю в першій компоненті, а тому вони мають близькі кольори. Якщо ж їх розглядати у вигляді 24-бітних чисел, то вони сильно відрізняться, оскільки вони відрізняються у старшому біті. Будь-який метод компресії, який ґрунтуватиметься на такому розрізненні пікселів, буде дуже неоптимальним. У цьому сенсі найбільш підходящим є метод поділу зображення на кольорові компоненти з їхнім подальшим незалежним стиском методом напівтонової компресії.

Метод зважених контекстних дерев зображень є прикладом використання кодів RGC для стиснення образів.

До кольорових зображень можна застосовувати методи компресії, розроблені для інших типів зображень. Будь-який метод стиснення напівтонових образів дозволяє стискати кольорові зображення. У кольоровому зображенні кожен піксель складається з трьох кольорових компонентів (наприклад, RGB). Уявімо кольорове зображення, в якому всі компоненти складаються з одного байта. Піксель описується трьома байтами чи 24 бітами, але ці біти не можна розглядати як одне число. Три пікселі

118|206|12      та      117|206|12

розрізняються тільки на одиницю в першій компоненті, а тому вони мають близькі кольори. Якщо ж їх розглядати у вигляді 24-бітних чисел, то вони сильно відрізнятимуться, оскільки вони відрізняються у старшому біті. Будь-який метод компресії, який ґрунтуватиметься на такому розрізненні пікселів, буде дуже неоптимальним. У цьому сенсі найбільш підходящим є метод поділу зображення на кольорові компоненти з їхнім подальшим незалежним стиском методом напівтонової компресії.

**Метод зважених контекстних дерев зображень** є прикладом використання кодів RGC для стиснення образів.

## Історія кодів Грея

Ці коди названі на честь Франка Грея (Frank Gray), який запатентував їхнє використання у кодерах у 1953 році. Однак ця робота була виконана суттєво раніше: він її подав для патентування вже 1947 року. Грей працював дослідником у лабораторії Белла. Протягом 1930-х та 1940-х років він отримав кілька патентів у галузі телебачення. Якщо вірити деяким історичним дослідженням, то ці коди вже застосовувалися Баудотом (J. M. E. Baudot) в телеграфії в 1870-х роках, але тільки після винаходу комп'ютерів ці коди стали широко відомі.

Коди Баудота склалися із п'яти біт на символ. З їхньою допомогою можна представити  $32 \times 2 - 2 = 62$  символи (кожен код має два зміст або значення, зміст позначався LS і FS кодами). Вони стали дуже популярними, і в 1950 році вони були прийняті як стандарт N1 міжнародного телеграфу. Вони також використовувалися у багатьох комп'ютерах першого та другого покоління.

## Історія кодів Грея

Ці коди названі на честь Франка Грея (Frank Gray), який запатентував їхнє використання у кодерах у 1953 році. Однак ця робота була виконана суттєво раніше: він її подав для патентування вже 1947 року. Грей працював дослідником у лабораторії Белла. Протягом 1930-х та 1940-х років він отримав кілька патентів у галузі телебачення. Якщо вірити деяким історичним дослідженням, то ці коди вже застосовувалися Баудотом (J. M. E. Baudot) в телеграфії в 1870-х роках, але тільки після винаходу комп'ютерів ці коди стали широко відомі.

Коди Баудота склалися із п'яти біт на символ. З їхньою допомогою можна представити  $32 \times 2 - 2 = 62$  символи (кожен код має два зміст або значення, зміст позначався LS і FS кодами). Вони стали дуже популярними, і в 1950 році вони були прийняті як стандарт N1 міжнародного телеграфу. Вони також використовувалися у багатьох комп'ютерах першого та другого покоління.

## Історія кодів Грея

Ці коди названі на честь Франка Грея (Frank Gray), який запатентував їхнє використання у кодерах у 1953 році. Однак ця робота була виконана суттєво раніше: він її подав для патентування вже 1947 року. Грей працював дослідником у лабораторії Белла. Протягом 1930-х та 1940-х років він отримав кілька патентів у галузі телебачення. Якщо вірити деяким історичним дослідженням, то ці коди вже застосовувалися Баудотом (J. M. E. Baudot) в телеграфії в 1870-х роках, але тільки після винаходу комп'ютерів ці коди стали широко відомі.

Коди Баудота склалися із п'яти біт на символ. З їхньою допомогою можна представити  $32 \times 2 - 2 = 62$  символи (кожен код має два зміст або значення, зміст позначався LS і FS кодами). Вони стали дуже популярними, і в 1950 році вони були прийняті як стандарт N1 міжнародного телеграфу. Вони також використовувалися у багатьох комп'ютерах першого та другого покоління.

## Історія кодів Грея

Ці коди названі на честь Франка Грея (Frank Gray), який запатентував їхнє використання у кодерах у 1953 році. Однак ця робота була виконана суттєво раніше: він її подав для патентування вже 1947 року. Грей працював дослідником у лабораторії Белла. Протягом 1930-х та 1940-х років він отримав кілька патентів у галузі телебачення. Якщо вірити деяким історичним дослідженням, то ці коди вже застосовувалися Баудотом (J. M. E. Baudot) в телеграфії в 1870-х роках, але тільки після винаходу комп'ютерів ці коди стали широко відомі.

Коди Баудота склалися із п'яти біт на символ. З їхньою допомогою можна представити  $32 \times 2 - 2 = 62$  символи (кожен код має два зміст або значення, зміст позначався LS і FS кодами). Вони стали дуже популярними, і в 1950 році вони були прийняті як стандарт N1 міжнародного телеграфу. Вони також використовувалися у багатьох комп'ютерах першого та другого покоління.

## Історія кодів Грея

Ці коди названі на честь Франка Грея (Frank Gray), який запатентував їхнє використання у кодерах у 1953 році. Однак ця робота була виконана суттєво раніше: він її подав для патентування вже 1947 року. Грей працював дослідником у лабораторії Белла. Протягом 1930-х та 1940-х років він отримав кілька патентів у галузі телебачення. Якщо вірити деяким історичним дослідженням, то ці коди вже застосовувалися Баудотом (J. M. E. Baudot) в телеграфії в 1870-х роках, але тільки після винаходу комп'ютерів ці коди стали широко відомі.

Коди Баудота склалися із п'яти біт на символ. З їхньою допомогою можна представити  $32 \times 2 - 2 = 62$  символи (кожен код має два зміст або значення, зміст позначався LS і FS кодами). Вони стали дуже популярними, і в 1950 році вони були прийняті як стандарт N1 міжнародного телеграфу. Вони також використовувалися у багатьох комп'ютерах першого та другого покоління.

## Історія кодів Грея

Ці коди названі на честь Франка Грея (Frank Gray), який запатентував їхнє використання у кодерах у 1953 році. Однак ця робота була виконана суттєво раніше: він її подав для патентування вже 1947 року. Грей працював дослідником у лабораторії Белла. Протягом 1930-х та 1940-х років він отримав кілька патентів у галузі телебачення. Якщо вірити деяким історичним дослідженням, то ці коди вже застосовувалися Баудотом (J. M. E. Baudot) в телеграфії в 1870-х роках, але тільки після винаходу комп'ютерів ці коди стали широко відомі.

Коди Баудота склалися із п'яти біт на символ. З їхньою допомогою можна представити  $32 \times 2 - 2 = 62$  символи (кожен код має два зміст або значення, зміст позначався LS і FS кодами). Вони стали дуже популярними, і в 1950 році вони були прийняті як стандарт N1 міжнародного телеграфу. Вони також використовувалися у багатьох комп'ютерах першого та другого покоління.



## Історія кодів Грея

Ці коди названі на честь Франка Грея (Frank Gray), який запатентував їхнє використання у кодерах у 1953 році. Однак ця робота була виконана суттєво раніше: він її подав для патентування вже 1947 року. Грей працював дослідником у лабораторії Белла. Протягом 1930-х та 1940-х років він отримав кілька патентів у галузі телебачення. Якщо вірити деяким історичним дослідженням, то ці коди вже застосовувалися Баудотом (J. M. E. Baudot) в телеграфії в 1870-х роках, але тільки після винаходу комп'ютерів ці коди стали широко відомі.

Коди Баудота склалися із п'яти біт на символ. З їхньою допомогою можна представити  $32 \times 2 - 2 = 62$  символи (кожен код має два зміст або значення, зміст позначався LS і FS кодами). Вони стали дуже популярними, і в 1950 році вони були прийняті як стандарт N1 міжнародного телеграфу. Вони також використовувалися у багатьох комп'ютерах першого та другого покоління.

## Історія кодів Грея

Ці коди названі на честь Франка Грея (Frank Gray), який запатентував їхнє використання у кодерах у 1953 році. Однак ця робота була виконана суттєво раніше: він її подав для патентування вже 1947 року. Грей працював дослідником у лабораторії Белла. Протягом 1930-х та 1940-х років він отримав кілька патентів у галузі телебачення. Якщо вірити деяким історичним дослідженням, то ці коди вже застосовувалися Баудотом (J. M. E. Baudot) в телеграфії в 1870-х роках, але тільки після винаходу комп'ютерів ці коди стали широко відомі.

Коди Баудота склалися із п'яти біт на символ. З їхньою допомогою можна представити  $32 \times 2 - 2 = 62$  символи (кожен код має два зміст або значення, зміст позначався LS і FS кодами). Вони стали дуже популярними, і в 1950 році вони були прийняті як стандарт N1 міжнародного телеграфу. Вони також використовувалися у багатьох комп'ютерах першого та другого покоління.

## Історія кодів Грея

Ці коди названі на честь Франка Грея (Frank Gray), який запатентував їхнє використання у кодерах у 1953 році. Однак ця робота була виконана суттєво раніше: він її подав для патентування вже 1947 року. Грей працював дослідником у лабораторії Белла. Протягом 1930-х та 1940-х років він отримав кілька патентів у галузі телебачення. Якщо вірити деяким історичним дослідженням, то ці коди вже застосовувалися Баудотом (J. M. E. Baudot) в телеграфії в 1870-х роках, але тільки після винаходу комп'ютерів ці коди стали широко відомі.

Коди Баудота склалися із п'яти біт на символ. З їхньою допомогою можна представити  $32 \times 2 - 2 = 62$  символи (кожен код має два зміст або значення, зміст позначався LS і FS кодами). Вони стали дуже популярними, і в 1950 році вони були прийняті як стандарт N1 міжнародного телеграфу. Вони також використовувалися у багатьох комп'ютерах першого та другого покоління.

## Історія кодів Грея

Ці коди названі на честь Франка Грея (Frank Gray), який запатентував їхнє використання у кодерах у 1953 році. Однак ця робота була виконана суттєво раніше: він її подав для патентування вже 1947 року. Грей працював дослідником у лабораторії Белла. Протягом 1930-х та 1940-х років він отримав кілька патентів у галузі телебачення. Якщо вірити деяким історичним дослідженням, то ці коди вже застосовувалися Баудотом (J. M. E. Baudot) в телеграфії в 1870-х роках, але тільки після винаходу комп'ютерів ці коди стали широко відомі.

Коди Баудота склалися із п'яти біт на символ. З їхньою допомогою можна представити  $32 \times 2 - 2 = 62$  символи (кожен код має два зміст або значення, зміст позначався LS і FS кодами). Вони стали дуже популярними, і в 1950 році вони були прийняті як стандарт N1 міжнародного телеграфу. Вони також використовувалися у багатьох комп'ютерах першого та другого покоління.

## Історія кодів Грея

Ці коди названі на честь Франка Грея (Frank Gray), який запатентував їхнє використання у кодерах у 1953 році. Однак ця робота була виконана суттєво раніше: він її подав для патентування вже 1947 року. Грей працював дослідником у лабораторії Белла. Протягом 1930-х та 1940-х років він отримав кілька патентів у галузі телебачення. Якщо вірити деяким історичним дослідженням, то ці коди вже застосовувалися Баудотом (J. M. E. Baudot) в телеграфії в 1870-х роках, але тільки після винаходу комп'ютерів ці коди стали широко відомі.

Коди Баудота склалися із п'яти біт на символ. З їхньою допомогою можна представити  $32 \times 2 - 2 = 62$  символи (кожен код має два зміст або значення, зміст позначався LS і FS кодами). Вони стали дуже популярними, і в 1950 році вони були прийняті як стандарт N1 міжнародного телеграфу. Вони також використовувалися у багатьох комп'ютерах першого та другого покоління.

## Історія кодів Грея

Ці коди названі на честь Франка Грея (Frank Gray), який запатентував їхнє використання у кодерах у 1953 році. Однак ця робота була виконана суттєво раніше: він її подав для патентування вже 1947 року. Грей працював дослідником у лабораторії Белла. Протягом 1930-х та 1940-х років він отримав кілька патентів у галузі телебачення. Якщо вірити деяким історичним дослідженням, то ці коди вже застосовувалися Баудотом (J. M. E. Baudot) в телеграфії в 1870-х роках, але тільки після винаходу комп'ютерів ці коди стали широко відомі.

Коди Баудота склалися із п'яти біт на символ. З їхньою допомогою можна представити  $32 \times 2 - 2 = 62$  символи (кожен код має два зміст або значення, зміст позначався LS і FS кодами). Вони стали дуже популярними, і в 1950 році вони були прийняті як стандарт N1 міжнародного телеграфу. Вони також використовувалися у багатьох комп'ютерах першого та другого покоління.

## Історія кодів Грея

Ці коди названі на честь Франка Грея (Frank Gray), який запатентував їхнє використання у кодерах у 1953 році. Однак ця робота була виконана суттєво раніше: він її подав для патентування вже 1947 року. Грей працював дослідником у лабораторії Белла. Протягом 1930-х та 1940-х років він отримав кілька патентів у галузі телебачення. Якщо вірити деяким історичним дослідженням, то ці коди вже застосовувалися Баудотом (J. M. E. Baudot) в телеграфії в 1870-х роках, але тільки після винаходу комп'ютерів ці коди стали широко відомі.

Коди Баудота склалися із п'яти біт на символ. З їхньою допомогою можна представити  $32 \times 2 - 2 = 62$  символи (кожен код має два зміст або значення, зміст позначався LS і FS кодами). Вони стали дуже популярними, і в 1950 році вони були прийняті як стандарт N1 міжнародного телеграфу. Вони також використовувалися у багатьох комп'ютерах першого та другого покоління.

## Історія кодів Грея

Ці коди названі на честь Франка Грея (Frank Gray), який запатентував їхнє використання у кодерах у 1953 році. Однак ця робота була виконана суттєво раніше: він її подав для патентування вже 1947 року. Грей працював дослідником у лабораторії Белла. Протягом 1930-х та 1940-х років він отримав кілька патентів у галузі телебачення. Якщо вірити деяким історичним дослідженням, то ці коди вже застосовувалися Баудотом (J. M. E. Baudot) в телеграфії в 1870-х роках, але тільки після винаходу комп'ютерів ці коди стали широко відомі.

Коди Баудота склалися із п'яти біт на символ. З їхньою допомогою можна представити  $32 \times 2 - 2 = 62$  символи (кожен код має два зміст або значення, зміст позначався LS і FS кодами). Вони стали дуже популярними, і в 1950 році вони були прийняті як стандарт N1 міжнародного телеграфу. Вони також використовувалися у багатьох комп'ютерах першого та другого покоління.



Дякую за увагу!